

Mémoire d'alternance, 1ère année  
**Master mention Informatique**, mention **Ingénierie**  
**du Logiciel et des Connaissances**

Algorithme génétique, du framework à  
l'implémentation

Joseph Pallamidessi  
Université de Strasbourg

Maître d'alternance :  
**Pierre Collet**, Université de Strasbourg  
**Guillaume Philips**, Synovo SAS

# Table des matières

1	Remerciements . . . . .	4
2	Introduction . . . . .	5
2.1	Projets abordés . . . . .	6
2.1.1	EASEA-CLOUD . . . . .	6
2.1.2	CSDC . . . . .	7
2.1.3	HIRONDELLE . . . . .	7
3	Structures et interlocuteurs . . . . .	9
3.0.1	Le laboratoire ICube et ses activités . . . . .	9
3.0.2	Synovo . . . . .	9
3.0.3	L'équipe BFO (Bioinformatique théorique, Fouille de données et Optimisation stochastique). . . . .	11
4	Positionnement et intégration sur le « marché » . . . . .	12
5	Brève introduction aux algorithmes génétiques . . . . .	12
5.1	Les nouveaux enjeux et défis dans l'ère du Big Data . . . . .	12
5.2	Optimisation stochastique et algorithme évolutionnaire . . . . .	13
5.2.1	Représentation des individus . . . . .	13
5.2.2	Initialisation . . . . .	13
5.2.3	La boucle évolutionnaire . . . . .	14
5.2.4	Évaluation . . . . .	14
5.2.5	Cross-over . . . . .	14
5.2.6	Mutation . . . . .	14
5.2.7	Sélection et réduction . . . . .	15
5.2.8	Optimisation multiobjectif . . . . .	16
6	EASEA, un framework évolutionnaire . . . . .	17
6.1	Contribution . . . . .	17
6.1.1	Flex/Bison . . . . .	18
6.1.2	Nettoyage de la codebase . . . . .	18
6.1.3	Visualisation . . . . .	19
6.1.4	Industrialisation . . . . .	19
6.1.5	Parallélisation CPU . . . . .	21
7	La plateforme Web du CSDC . . . . .	21
7.1	Python et framework Django . . . . .	22
7.2	Contribution . . . . .	22
7.2.1	Mise en place d'un système de templating de mail . . . . .	22

7.2.2	Exportation/importation Wikiversity . . . . .	22
7.2.3	Visualisation . . . . .	23
7.2.4	Notification interne . . . . .	23
7.2.5	Modélisation . . . . .	24
7.2.6	Refactoring . . . . .	25
8	Le projet HIRONDELLE : Spécialisation poussée sur les techniques évolutives et l'architecture CUDA . . . . .	25
8.1	Description fine du problème . . . . .	26
8.1.1	Problématique . . . . .	26
8.1.2	Transfert de données et communication . . . . .	27
8.1.3	Matrice de distance . . . . .	27
8.1.4	Architecture de données . . . . .	28
8.1.5	Contraintes . . . . .	29
8.1.6	Évaluation . . . . .	31
8.2	État de l'art des VRP . . . . .	31
8.2.1	Cross-over adapté aux VRP . . . . .	32
8.2.2	Sélection et ranking : NSGAII et ASREA . . . . .	33
8.3	Implémentation CUDA . . . . .	34
8.3.1	MIMD . . . . .	34
8.3.2	SIMD . . . . .	35
8.3.3	Architecture software . . . . .	35
8.3.4	Architecture physique . . . . .	37
8.3.5	Hierarchie mémoire . . . . .	38
8.3.6	Optimisation et détails d'implémentation . . . . .	40
8.3.7	Futurs développement et interaction utilisateur . . . . .	41
8.3.8	Résultats expérimentaux . . . . .	43
8.4	Gestion de projet et capacité d'adaptation . . . . .	44
8.4.1	Autonomie et capacité d'adaptation . . . . .	45
8.4.2	Chef d'équipe . . . . .	45
8.4.3	Premier pas . . . . .	46
8.4.4	Difficultés . . . . .	47
9	Conclusion . . . . .	48

## 1 Remerciements

Je tiens tout d’abord à remercier Mr Collet, maître d’apprentissage pendant mon CDD au CNRS et sans qui je n’aurais pas pu découvrir le monde de la recherche. C’est grâce à lui que j’ai pu rencontrer et tisser des liens forts avec beaucoup de chercheurs et d’étudiants, véritablement passionnés par leurs domaines, tels que Paul Bourguin que je salue et remercie pour ma participation au projet du Campus Numérique des Systèmes Complexe, ses grandes capacités d’écoute et nos longues discussions. Ce court passage dans le milieu universitaire fut incroyablement enrichissant sur le plan humain et professionnel.

Évelyne Lutton pour m’avoir offert l’incroyable opportunité d’avoir pu participer à un article de revue suite à un stage au laboratoire ICube sur le sujet du monitoring musical d’écosystèmes de calcul et de ses nombreux conseils.

Jérémy Wies pour le poste d’assistant-chercheur chez Synovo que j’occupe à l’heure où j’écris ces mots. Je tiens à remercier Guillaume Philipp, maître d’apprentissage actuel, toujours à l’écoute, pour son pilotage de projet efficace, ses directions claires et sa bonne humeur alors qu’il s’agissait d’un projet difficile. Je tiens également à saluer mes collègues sur le projet d’optimisation stochastique HIRONDELLE.

Carlos Catania, précédent collaborateur pour ses recherches, travaux et avoir prit le temps de me répondre et guidés malgré les problèmes d’emploi du temps et de décalage horaire. Ivan Aksamentov et Benjamin Chetoui pour leurs nombreux conseils d’implémentation, de design ainsi que pour leurs idées concernant le développement sur GPGPU.

Je veux aussi saluer l’équipe pédagogique du master ILC, en particulier M. Narboux, M. Magaud et Mme. Marc-Zwecker d’avoir accepté mon parcours d’alterance un peu particulier, malgré tous les problèmes et la charge de travail supplémentaire que cela représentait. Merci à mes différents relecteurs et amis pour leurs temps, patiences et soutiens pendant la rédaction de ce mémoire. Finalement, je tiens à remercier le CROUS pour le financement de mes premières années d’études, le système universitaire et scolaire français, pour m’avoir donné la chance de les accomplir.

## 2 Introduction

Le domaine des algorithmes inspirés par la nature a connu une très forte croissance ces dernières années due à des avancées conséquentes du matériel et des paradigmes de parallélisation. Nécessitant de très grandes puissances de calcul et du fait de leurs parallélismes intrinsèques, les coûts de plus en plus faibles du *flops*/\$ ont rendu ces algorithmes rentables et performants. Les paradigmes de calcul sur carte graphique (*CUDA*<sup>1</sup> chez Nvidia, *openCL*<sup>2</sup>), retour des unités de traitement spécialisées (*FPGA*<sup>3</sup>, *ASIC*<sup>4</sup>) ainsi que par les offres de location de clusters de calcul décentralisés de type IaaS<sup>5</sup> (*Amazon*, *Azure*) ont fortement contribué à leurs diffusions.

Ce mémoire se penche plus particulièrement sur optimisation par algorithme génétique (ou évolutionnaire) essayant de reproduire la théorie de Darwin de l'évolution. Du fait des très nombreux emprunts avec le monde de la biologie, on retrouve une terminologie et des concepts analogues.

La spécificité de ce mémoire vient du fait d'avoir pu explorer le monde de la recherche sous différents angles au cours de cette première année d'alternance. La recherche dans le cadre universitaire, d'abord, lors d'un CDD dans la section BFO du laboratoire ICube à Illkirch affilié au CNRS de septembre 2014 à mars 2015, puis à travers le projet de R&D de la startup Strasbourgeoise Synovo SAS, toujours en collaboration avec l'équipe BFO.

Durant mon passage dans l'équipe BFO, j'ai d'abord travaillé sur le projet de plateforme d'algorithmes évolutionnaires EASEA-CLOUD. J'ai touché à tout les aspects de ce projet, de l'intégration de nouvelles fonctionnalités comme un système de monitoring, à des changements structurels importants comme la parallélisation automatique complète d'algorithme génétique sur CPU en passant par l'industrialisation de la plateforme. Cela m'a permis d'avoir une vision globale d'un projet de développement important d'une part et d'approfondir mes connaissances sur le domaine en me spécialisant sur les problèmes de parallélisme sur CPU et carte GPGPU<sup>6</sup>.

J'ai ensuite aidé à modéliser et à créer une plateforme Web complexe pour les besoins du Campus Numérique des Systèmes Complexes, large réseaux international universitaire de recherche sur les systèmes complexes. Le but de cette plateforme est de faciliter la mise en relation de divers chercheurs et institutions, possiblement de domaines différents, en proposant un outil collaboratif efficace.

Après mon passage au CNRS, j'ai continué un projet R&D d'optimisation de tournée d'ambulance à Synovo sur carte GPGPU avec la plateforme EASEA, HIRONDELLE. Mon expérience au CNRS sur le framework et sur le domaine s'est révélée plus qu'utile au bon déroulement du projet.

---

1. Compute Unified Device Architecture : [http://www.nvidia.com/object/cuda\\_home\\_new.html](http://www.nvidia.com/object/cuda_home_new.html)

2. Open Computing Language : <https://www.khronos.org/opencl/>

3. Field-programmable gate array

4. Application-specific integrated circuit

5. Infrastructure as a service

6. General-purpose computing on graphics processing units

C'est là que réside la grande force du master ILC proposé par l'Unistra : l'exploration de multiples univers professionnels dans le cadre d'un cursus innovant, permettant à l'étudiant de bien appréhender le monde du travail et la richesse qu'il propose. J'ai pu travailler sur plusieurs projets importants et extrêmement intéressants allant du développement Web à l'application lourde, dans des environnements de travail épanouissant ce qui m'a beaucoup apporté sur le plan personnel et professionnel.

Un point important qui sera assez longuement adressé tout au long de ce mémoire est la forte responsabilité endossée tout au long de cette première année sur les différents projets qui m'ont été confiés. J'ai été amené dès le début à me placer comme chef de projet étant donné la grande liberté qui m'a été octroyée sur des questions cruciales comme le choix de l'architecture et des technologies à employer.

Cette expérience, aux implications très positives, s'est aussi révélée par moment être difficile, car étant le seul responsable des choix et des directions à prendre tout au long des développements. Cela contraste beaucoup avec la situation dans laquelle se retrouvent certains alternants, où les décisions importantes sont plutôt prises par le maître d'apprentissage lui-même.

Les nombreuses descriptions techniques sont dues à la nature technique du travail effectué, notamment concernant la parallélisation sur carte GPGPU. Nous essayerons d'adopter une démarche vulgarisatrice et explicative pour bien mettre en évidence le travail de recherche et les difficultés d'implémentation rencontrées. Des introductions sur les thématiques abordées notamment sur la partie optimisation seront présentes tout au long de l'exposé.

## 2.1 Projets abordés

### 2.1.1 EASEA-CLOUD

*EASEA*[4] est un solveur évolutionnaire massivement parallèle développé et maintenu par l'équipe BFO à l'université de Strasbourg. Il a pour but de faciliter le prototypage d'algorithmes génétiques, en proposant un métalangage autour du *C++*. *EASEA* est un projet universitaire créé par l'initiative de Pierre Collet et Évelyne Lutton à l'INRIA en 1999. Depuis le projet a subi de nombreux remaniements et ajout de fonctionnalités. *EASEA* a été utilisé pour de nombreux projets universitaires et privés, notamment dans le cadre d'une thèse de doctorat cofinancé et dirigé par Électricité de Strasbourg ou encore la découverte de nouvelles zéolites en cristallographie[14]. Le projet est régulièrement cité dans le cadre d'étude comparative de performance de bibliothèque ou de framework d'algorithme évolutionnaire.

L'utilisateur n'a qu'à définir le génome et les différents opérateurs génétiques et la plateforme *EASEA* se charge du lancement et de la gestion de la boucle évolutionnaire en elle-même. Il offre la possibilité de paralléliser sur carte GPGPU sans connaissance préalable, profitant ainsi d'une accélération très significative (un ordre de magnitude de plusieurs centaines de fois[19]). De plus, *EASEA* permet de travailler dans un paradigme d'évolution en îlots distribués, où plusieurs machines communiquent entre elles en envoyant des individus de leurs populations vers les autres îlots, dans un processus appelé

*migration*. Ce nouveau niveau de parallélisme permet là encore d'obtenir des accélérations importantes[31] en plus d'améliorer certaines limitations que peuvent rencontrer les algorithmes génétiques telle la convergence prématurée de la population.

La première partie de mon travail consistait à faire d'EASEA une plateforme plus robuste et moderne. Cela s'est traduit par un travail de fond de *refactoring* et d'uniformisation de la base de code. J'ai ensuite ajouté des fonctionnalités importantes comme la parallélisation sur CPU, y compris des opérateurs génétiques considérés traditionnellement comme séquentiels, comme la sélection. Mon expérience sur la plateforme m'a permis d'entreprendre des optimisations plus fines. La liste de tâches accomplies est disponible dans la section correspondante.

### 2.1.2 CSDC

Après mon travail sur EASEA, ma mission m'a amené à travailler sur la plateforme web du CSDC. Le *Campus numérique des Systèmes complexes* est un large réseau international de chercheurs et d'institution oeuvrant à définir la science des systèmes complexes et ses fondements théoriques. Ce réseau a comme objectif de mettre en relation des institutions et individus de discipline différente en proposant un ensemble de ressources de travail collaboratif. Ce projet est soutenu par l'*UNESCO* dans le cadre de son programme *UniTwin* de jumelage d'université. À l'heure actuelle, il est composé de plus de 120 institutions regroupant pas moins de 3500 chercheurs.

De nombreuses similitudes sont présentes dans des disciplines traditionnellement considérées comme éloignées allant de la physique à la musicologie sur des problèmes pouvant faire partie de la thématique des systèmes complexes. Les différentes disciplines ont tenté de répondre à ces problèmes avec leurs propres méthodologies au cours des 200 dernières années, là où certains rapprochements auraient été judicieux. L'objectif étant de promouvoir la sérendipité<sup>7</sup>.

L'écosystème informationnel du *CSDC* est composé d'un site Web, où différents acteurs peuvent s'enregistrer : des institutions universitaires, des laboratoires, des projets et des membres individuels. Ces différentes entités peuvent se lier selon certains critères : appartenance, projets en commun et ensuite commencer des projets sur des questions théoriques ou expérimentales.

J'ai travaillé en temps que développeur Django<sup>8</sup> *full stack* ainsi qu' à la modélisation du système, le tout en temps que *lead developer*.

### 2.1.3 HIRONDELLE

Le projet *HIRONDELLE* (*Healthcare Itinerancy Rapid Optimization using Non-Deterministic Evolutionary algorithm*) est le projet phare de R&D chez *Synovo*. Il s'agit

---

7. "Fait de faire une découverte par hasard et par sagacité alors que l'on cherchait autre chose"  
©Wiktionary

8. <https://www.djangoproject.com/>

d'un algorithme génétique multiobjectif d'optimisation de courses et de planning pour flotte d'ambulances et véhicules de transport de santé. Les buts de cet algorithme se classent en trois parties distinctes : optimisation de coût de plannings, des délais et d'optimisation de la qualité de service.

Il s'agit d'un problème dit « réel » tel que décrit dans la littérature en opposition avec les problèmes de test (« *Toy problem*[32] ») généralement utilisée : dimensions spatiales et temporelles, beaucoup de contraintes et grand volume de données. La problématique se décompose de la manière suivante : selon un ensemble de véhicules, d'employée et de missions fournir rapidement une planification de tournées efficaces.

À terme, le projet *HIRONDELLE* doit être intégré à la solution commerciale de Synovo d'aide à la logistique pour les transports de santé *Saphir*. L'idée est d'automatiser la création de plannings pour le lendemain, tâche longue, laborieuse et rigoureuse dont s'occupent dans le meilleur de leurs capacités les régulateurs de ces sociétés de transport.

Nous allons ici mettre en exergue les liens et parallèles entre ses deux projets et les étudier comparativement selon plusieurs angles. Au travers du monde de la recherche publique et du privé d'une part et de leurs visions : proposer un système générique pour *EASEA* et une implémentation spécialisés pour *HIRONDELLE*, chacune ayant des avantages par rapport à l'autre. Il est de plus intéressant de noter, même si cela sera détaillé dans les chapitres qui suivent, que les deux projets sont intimement liés. D'abord du point de vue des acteurs, et du fait que les premiers prototypes d'*HIRONDELLE* ont été faits sur la plateforme *EASEA*.

Sur le projet *HIRONDELLE*, j'ai succédé à un chercheur de l'équipe BFO, M. Carlos Catania. Après avoir continué son prototype sur *EASEA*, j'ai recommencé une implémentation d'un framework évolutionnaire sur GPGPU spécifique au projet, dans une optique de performance. L'algorithme en lui-même n'ayant pas encore été fini, j'ai continué le travail de recherche sur l'optimisation dynamique de VRP[1, 10]<sup>9</sup> et j'ai testé plusieurs différentes techniques et opérateurs génétiques, en me basant sur la littérature récente. L'implémentation sur l'architecture CUDA m'a permis d'approfondir mes compétences en matière de programmation et d'analyse de performance sur carte GPGPU. Pendant cette nouvelle implémentation, j'avais un grand contrôle sur le pilotage du projet, ce qui m'a permis de modifier en profondeur les modèles de données, les technologies et les outils (développement et gestion de projet) utilisés.

---

9. Vehicle Routing Problem



## 3 Structures et interlocuteurs

### 3.0.1 Le laboratoire ICube et ses activités

La première partie de mon alternance s'est déroulée au sein du laboratoire ICube à Illkirch au poste de technicien supérieur en informatique dans le cadre d'un CDD CNRS sur le projet ANR EASEA-CLOUD. Le laboratoire ICube, Laboratoire des sciences de l'ingénieur, de l'informatique et de l'imagerie, a été fondé en 2013 sous la direction de l'université de Strasbourg et du CNRS et résulte de la fusion de plusieurs laboratoires. Il compte plus de 500 chercheurs, répartis entre de nombreuses équipes et unités, et est dirigé par M. Michel de Mathelin. L'imagerie est l'un des principaux domaines de cet important laboratoire. La présence de disciplines variées au sein de la même structure est le fait de la volonté de favoriser les échanges transversaux de compétences et d'idée. Des moyens expérimentaux importants sont disponibles, notamment pour la partie imagerie et ingénierie. Ce laboratoire s'inscrit dans une politique d'ouverture au monde de l'entreprise avec plus d'une centaine de partenariats avec des entreprises du public et du privé : PME, grands groupes, nationaux et internationaux.

### 3.0.2 Synovo

Synovo est une startup strasbourgeoise créée par Jérémy Wies, fondateur, directeur financier et commercial, Michel Lacombe, directeur Formation & Business Intelligence et Guillaume Phillip, directeur technique. Les locaux de l'entreprise se situent à la Meinau, à quelque pas du lycée Couffignal.

Jérémy Wies est le directeur et fondateur de Synovo SAS. Ancien étudiant de Supinfo, il d'abord créé la société New Web<sup>10</sup>, spécialisé dans les solutions d'hébergement d'infrastructure de type cloud pour les transporteurs sanitaire qui s'est ensuite développé avec des offres plus généralistes puis Synovo, connaissant bien les besoins des services de transports sanitaires.

L'entreprise est spécialisée dans la gestion et l'optimisation de transport de santé en France depuis bientôt 6 ans. Leur cheval de bataille est la gestion logistique de flotte d'ambulance destinée aux sociétés de transport sanitaire françaises.

Synovo est née de l'initiative de ses trois fondateurs, alors étudiants à SUPINFO, après avoir décroché le premier prix à un startup week-end organisé par Strasbourg Startup en 2011. Après avoir enchainé les concours (Yago, Talent des cités, Pépites) et levé des fonds, la société compte maintenant plus d'une vingtaine d'employés et une dizaine de clients répartis sur toute la France, soit un total d'environ 300 véhicules.

Après 3 ans de développement, leur logiciel phare, Saphir, offre une solution de gestion aux problèmes de logistique rencontrée par ces sociétés : prise de rendez-vous, communication entre les régulateurs et le personnel roulant, tracking GPS, comptabilité et facturation, outils statiques et BI. C'est dans le cadre du projet Saphir que s'intègre mon travail de R&D d'optimisation de tournée par algorithme génétique. La remontée

---

10. [www.new-web.fr](http://www.new-web.fr)

en temps réel d'information de *tracker* GPS embarqués et de l'état des missions forment un élément essentiel pour le caractère dynamique de l'algorithme d'optimisation de tournées.

Mon maître d'apprentissage et encadrant chez SYNOVO SAS est M. Guillaume Philips. Il occupe le rôle de directeur général et de CTO. C'est avec lui que j'ai la plupart des discussions d'ordre techniques et l'avancement du projet HIRONDELLE. Il supervise le développement du projet Saphir dans son ensemble.

L'entreprise est en pleine expansion, avec plus de 10 nouveaux employés depuis le début de l'année portant le nombre à 23, et une vingtaine d'embauches prévues pour la fin d'année. De nombreux étudiants d'écoles d'informatique environnantes (Supinfo, Epitec, Exia,) viennent faire des stages, élevant encore ce nombre. Synovo est très fortement investi dans le tissu associatif des startups en Alsace avec des partenariats et soutiens avec Alsace Digitale et French Tech Alsace.

**Développement** L'entreprise est organisée en différents pôles : support, développement, Business intelligence, mobile et R&D.

Le pôle développement comprend la plus grande partie de la force de travail, soit 12 développeurs avec M. Guillaume Philips comme chef de projet. Ce pôle se concentre sur l'ajout de nouvelles fonctionnalités au logiciel, généralement plusieurs en parallèle.

**Support** Le processus de commercialisation ayant déjà commencé et les produits étant encore jeunes, le pôle support lui aussi composé de développeurs C# est de taille assez conséquente, 7 personnes environ. Leur travail consiste à corriger les bugs remontés par les clients, à indiquer comment utiliser certaines fonctionnalités du logiciel et à le mettre à jour.

**BI et ergonomie** La partie d'analyses statistiques et de Business Intelligence est dirigée par M. Michel Lacombe. Cette petite équipe (3 employées) s'occupe aussi de tous les interfaces homme-machine de Saphir et des produits et services connexes.

**Mobile Android** 2 Développeurs travaillent sur l'application mobile permettant aux ambulanciers sur le terrain de recevoir et d'envoyer des informations vers l'outil de régulation proposé par Saphir.

**R&D** Cela ne fait que depuis mon arrivée en avril que Synovo dispose d'un pôle R&D dans ses murs. Avant cela, la partie de recherche était fournie par l'équipe BFO du laboratoire ICube. Deux autres développeurs m'ont rejoint en août : M. Ivan Aksamentov dans le cadre d'un stage jusqu'à fin août et M. Benjamin Chetioui, en stage pour l'instant, qui continuera en tant qu'apprenti dans le cadre du master d'informatique, mention ILC.

### 3.0.3 L'équipe BFO (Bioinformatique théorique, Fouille de données et Optimisation stochastique).

L'équipe BFO regroupe pas moins de 5 thématiques différentes : bioinformatique théorique, fouille de données, ingénierie des connaissances, bioinformatique et génomique intégratives, optimisation stochastique. Le point commun entre toutes ces thématiques est le traitement de données massives et complexes, comme en génomique ou en télédétection. La thématique SONIC (Stochastic Optimisation and Nature Inspired Computing) à laquelle j'ai été rattaché, portée par Pierre Collet, étudie et utilise des techniques probabilistes pour s'attaquer à des problèmes généralement admis comme insolubles par les méthodes déterministes classiques. L'équipe utilise principalement :

- Les algorithmes évolutionnaires, ainsi que leurs variantes
- L'optimisation par colonies de fourmis
- Les approches émergentes

M. Collet était mon maître d'apprentissage pendant mon CDD au CNRS sur le projet EASEA-CLOUD et est actuellement mon superviseur scientifique chez Synovo. Ses axes de recherche principaux sont l'utilisation de carte GPGPU appliquée aux algorithmes génétique et les écosystèmes de calcul massivement parallélisés, techniques utilisées toutes au long du projet *HIRONDELLE*.

Le fer de lance de l'équipe est l'utilisation de cartes graphiques pour effectuer des traitements massivement parallèles (*GPGPU*) pour l'évolution artificielle.

Toujours le cadre de mon CDD, j'ai aussi travaillé à l'élaboration de la plateforme web du Campus numérique des systèmes complexes. Mon intervenant principal sur le projet CSDC, déjà évoqué plus haut, est Paul Bourguin. Ancien directeur du Centre de Recherche en Épistémologie Appliquée (CREA) de l'école polytechnique et actuellement directeur de l'Institut des Systèmes Complexes de Paris Île-de-France<sup>11</sup>. Il est le fondateur du CSDC, qu'il administre en collaboration avec M. Pierre Collet.

Les résultats des travaux de R&D chez Synovo sont le fruit d'un quatre ans de collaboration avec le laboratoire ICube sur un problème d'optimisation réel. Cela à commencer par les ébauches entreprises par des étudiants de licences d'informatique au cours de stages, puis par différents chercheurs. L'équipe scientifique encadrante a toujours été Pr Collet et Pr. Zenni-Merk, avec l'aide d'autres collaborateurs extérieurs. À terme, ce projet de recherche doit être intégré dans la solution commerciale de Synovo, Saphir. Un des grands enjeux est l'optimisation par algorithme génétique entièrement sur carte GPGPU, tâche considérée comme difficile, mais ouvrant la possibilité à des opportunités commerciales nouvelles, car extrêmement rapides (résultats exploitables en quelques secondes/minute contre plusieurs heures).

Pr. Collet est le superviseur scientifique sur le projet *HIRONDELLE*.

---

11. [iscpif.fr](http://iscpif.fr)

## 4 Positionnement et intégration sur le « marché »

Synovo se démarque des autres éditeurs de logiciel évoluant dans le même domaine en proposant un outil moderne, ergonomique et en constante amélioration. Saphir contraste avec ses logiciels concurrents historiques avec son interface séduisante (flat design/ metro<sup>12</sup>), en marquant une claire différence avec les interfaces sommaires et fonctionnelles de ces dernières.

Le logiciel apporte de nombreuses fonctionnalités inexistantes chez ses concurrents directs : cartographie, suivie des véhicules en temps réels, ect ... Saphir se dirige vers une optique de type *ERP*<sup>13</sup> avec la future gestion du personnel et des ressources matérielles.

Le marché pour les solutions dans le domaine du transport sanitaire est très ouvert, du fait du désintéressement en France des éditeurs de logiciel pour ce domaine.

La commercialisation de Saphir a commencé en fin d'années 2014 et Synovo compte depuis lors une dizaine de clients implantés partout dans le pays.

L'ajout de technique de planification automatique moderne va permettre à l'entreprise d'asseoir son caractère de leader du marché.

Peut-on vraiment parler de marché dans le monde de la recherche universitaire, autrement que du marché de la connaissance ?

Le laboratoire ICube se présente comme l'un des pôles de recherche majeurs en Alsace. Soutenu par un grand nombre de chercheurs et fort de ses nombreuses thématiques, le laboratoire a beaucoup de publications à son actif et jouit d'une bonne réputation à l'étranger.

Comme dans le cas de Synovo, de nombreuses initiatives vers le monde de l'entreprise sont prises. Ces échanges ont pour effet d'aider et de catalyser la création d'un milieu interdisciplinaire riche en Alsace.

## 5 Brève introduction aux algorithmes génétiques

### 5.1 Les nouveaux enjeux et défis dans l'ère du Big Data

L'explosion des volumes de données observée ces dix dernières années a mis à mal les techniques et modèles de traitement de données traditionnels. Si ces problèmes ont déjà été formulés dans certains domaines de l'informatique, en bio-informatique et en génomique plus particulièrement, c'est au travers des difficultés rencontrées par les géants du Web que le grand public et l'informatique généraliste y ont été exposé.

La multiplication des appareils et services connectés en est la cause principale. Des familles d'algorithmes ont dû être développées ou remises au goût du jour, pour analyser et classer cette masse de plus en plus importante de données semi-organisées. L'exemple type est le framework *mapReduce*[5] de Google basé sur des principes de système distribué et de programmation fonctionnelle. Les algorithmes stochastiques et probabilistes

---

12. [https://en.wikipedia.org/wiki/Flat\\_design](https://en.wikipedia.org/wiki/Flat_design)

13. Enterprise resource planning

ont aussi connu un second souffle en proposant des méthodes rapides et efficaces pour répondre à ces nouveaux besoins, de pair avec la baisse significative des coûts de calcul.

## 5.2 Optimisation stochastique et algorithme évolutionnaire

Ici, nous nous pencherons sur l'optimisation stochastique et plus précisément sur les algorithmes génétiques.

Les algorithmes génétiques (GA) sont généralement utilisés pour chercher la meilleure solution possible à des problèmes inverse complexe, combinatoire ou continue.

Ils améliorent de manière évolutive un ensemble de solutions potentielles dans l'espace de recherche de toutes les solutions possible. Les algorithmes génétiques ou algorithmes évolutionnaires sont une classe d'algorithme s'inspirant de la théorie de l'évolution comme énoncé par Charles Darwin avec son principe de « *survival of the fittest* ».

L'idée derrière l'utilisation et la mise en place d'algorithmes évolutionnaires est apparue à la fin des années 50[12] en essayant de mimer le modèle évolutionnaire naturelle. Il a ensuite été nécessaire d'attendre l'apparition d'ordinateur et d'unité de calcul suffisamment puissant pour que les GA deviennent réellement exploitables. Les analogies avec la biologie sont nombreuses.

Leur fonctionnement est conceptuellement très simple : la solution du problème à résoudre est modélisée sous forme d'un individu. Une population d'individus générés aléatoirement va être créée et cette population va ensuite suivre la boucle évolutionnaire suivante composée de quatre opérateurs génétiques : croisement, mutation, évaluation et sélection. Nous les expliciterons dans quelques instants.

### 5.2.1 Représentation des individus

Les GA font évoluer une population d'individus, solutions potentielles du problème à optimiser. Les individus sont encodés par un ensemble de gènes (variables) qui forme leur génotype (ou plus simplement génome).

C'est le rôle des différents opérateurs génétiques de passer de la représentation génotypique à la représentation phénotypique, par exemple pendant la phase d'évaluation. Le génome d'un individu est spécifique au problème que l'on cherche à optimiser.



FIGURE 1: Génome d'individu pour le problème one max.

### 5.2.2 Initialisation

Au début de l'algorithme, la population initiale est définie en créant des individus aléatoires. Les GA nécessitent des générateurs de nombre aléatoire uniforme rapide et de bonne qualité pour garantir un bon échantillonnage de l'espace de recherche comme

les générateurs *Mersenne twister* ou plus récemment les *xorshift*[20].

Selon le problème, il peut se révéler intéressant d'introduire des contraintes ou même des individus étant eux même des solutions de bonne qualité pour aider la recherche. Ces biais ont néanmoins tendance à trop contraindre les solutions possibles et à perdre la possibilité d'obtenir des résultats créatifs.

### 5.2.3 La boucle évolutionnaire

Après initialisation de la première population, la boucle évolutive suivante va être répétée jusqu'à un critère de terminaison ou indéfiniment dans le cadre d'une optimisation dynamique Anytime. Une itération de la boucle par analogie au monde de la biologie est appelée génération.

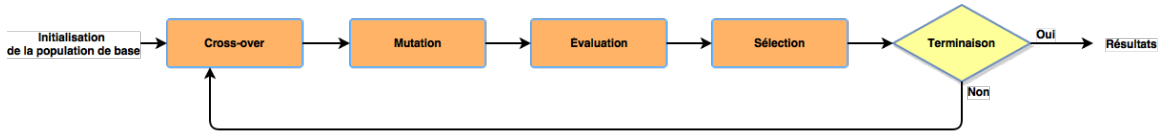


FIGURE 2: La boucle évolutionnaire d'un algorithme génétique.

### 5.2.4 Évaluation

La fonction d'évaluation est la partie la plus importante des GA étant donné qu'elle va guider l'évolution vers des solutions de plus en plus efficaces. Elle permet de « noter » un individu par rapport au problème. Cette note représente la fitness de l'individu. La fonction d'évaluation représente l'espace de recherche et décrit le paysage de *fitness* (fitness landscape) en l'échantillonnant et l'extrapolant grâce à une population d'individu. « Graphiquement », l'algorithme cherche à découvrir les endroits les plus intéressants de son espace de recherche.

### 5.2.5 Cross-over

La phase de *crossing-over* (ou recombinaison, reproduction) consiste à créer de nouveaux individus d'après plusieurs parents. De nombreux types de *cross-overs* existent, adaptés à diverse représentation d'individu. Le cross-over doit prendre en compte la structure de l'individu et est de fait lui aussi spécifique au problème.

### 5.2.6 Mutation

L'opérateur de mutation permet de faire varier de manière aléatoire les nouveaux individus « enfants » pour améliorer l'exploration de l'espace de recherche, certaines « zones » ne sont potentiellement pas accessibles par *cross-over* ou lorsqu'il n'y a pas eu d'occurrence d'un gène ou d'une certaine valeur d'un gène dans la population initiale. Là encore, l'opérateur de mutation dépend du problème et de la représentation utilisée,

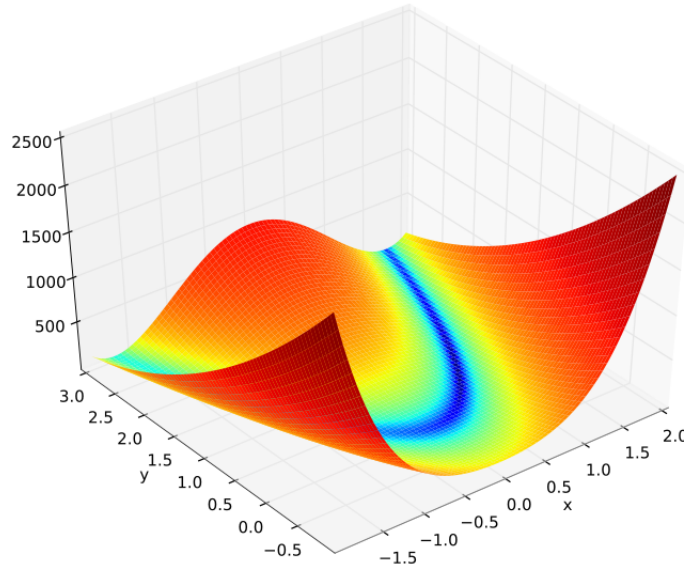


FIGURE 3: Paysage de fitness d'une fonction de Rosenbrock.

par exemple de l'ajout de bruits dans le cas d'un problème continu ou des opérations de swapping dans le cadre combinatoire.

### 5.2.7 Sélection et réduction

Avant d'entamer la prochaine génération, il faut assigner les « nouveaux » parents d'après l'ensemble  $(\lambda + \mu)$  des individus enfants  $\lambda$  et des parents  $\mu$  de la génération précédente. Le nombre d'individus sélectionnés de cette manière est égal à la taille originelle de la population parent  $\mu$ .

La sélection se base sur la *fitness* des individus. Cependant, un mécanisme simpliste où seuls les meilleurs (les plus aptes) individus sont sélectionnés, après un tri par exemple, entraîne des problèmes de convergence prématurée.

Lors du processus de sélection, il est nécessaire de garder des individus “relativement[25, 6]” bons qui aident à maintenir une certaine diversité dans la population globale, ce qu'un choix déterministe ne garantit pas.

Les méthodes de sélection sont donc généralement stochastiques comme la très courante et efficace sélection par tournoi, qui retourne le meilleur individu d'un ensemble aléatoire de  $n$  éléments. Il est à noter que les méthodes de sélection, ou sélecteurs diffèrent grandement entre une *GA* simple et une optimisation multicritère (*MOEA*<sup>14</sup>). Ce point précis sera bordé dans la section suivante.

---

14. Multi Objective Evolutionary Algorithm

### 5.2.8 Optimisation multiobjectif

L'intérêt d'utiliser des algorithmes génétiques vient que les résultats obtenus sont créatifs et compétitifs avec l'intelligence humaine. Au bout d'un certain nombre de générations, et ce malgré le fait d'avoir initialisé les individus aléatoirement, on obtient de « bons » résultats. On les définit comme « bon » du fait qu'on ne peut pas déterminer si l'optimum global du problème a été atteint ou si l'optimisation est restée bloquée dans un optimum local. Classiquement, on cherche à optimiser un seul critère, mais il est aussi possible d'en avoir plusieurs possiblement antagonistes. La difficulté des algorithmes génétiques multiobjectifs (*MOEA*) vient de l'opérateur de sélection.

Dans le cas d'un algorithme mono-objectif, la sélection se fait de manière relativement évidente : on prend les meilleurs individus issus de multiples tournois. Avec un *MOEA*, comment définir un « bon » individu ? Un individu optimisant parfaitement le critère 1 et pas les autres est-il meilleur qu'un autre qui optimise moyennement tous les critères ? Le principe derrière tous les opérateurs de sélection multiobjectif (*NSGA-II*[6], *ASREA*[25, 26], *SPEA*) nous vient du monde de l'économie. Il s'agit de l'optimalité de *Pareto*, aussi appelée *Pareto-dominance*.

**Dominance de Pareto** Dominer au sens de Pareto[30], pour un élément donné, signifie qu'aucun autre élément n'a au moins un critère meilleur que les siens. Dans le cadre des *MOEA*, une solution domine une autre si les deux conditions suivantes sont remplies :

- La solution  $x_1$  n'a aucune fitness plus mauvaises que celle de  $x_2$
- La solution  $x_1$  a au moins une fitness meilleure que celle de  $x_2$

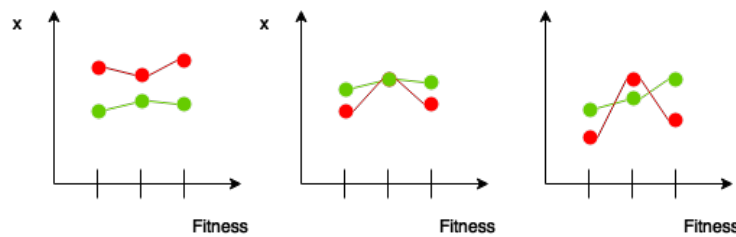


FIGURE 4: Soit deux individus, rouge et vert. Pour un problème de minimisation, de gauche à droite, vert domine rouge, rouge domine vert et ni rouge ni vert ne se dominent.

De par cette définition on peut déduire le concept de *front de Pareto* : l'ensemble des solutions non dominées. Les fronts de Pareto permettent de trouver de bons compromis entre les différents objectifs. Définir un front de Pareto revient à trouver une enveloppe convexe[8] dans un espace à dimension  $n$ , où  $n$  est le nombre d'objectif.



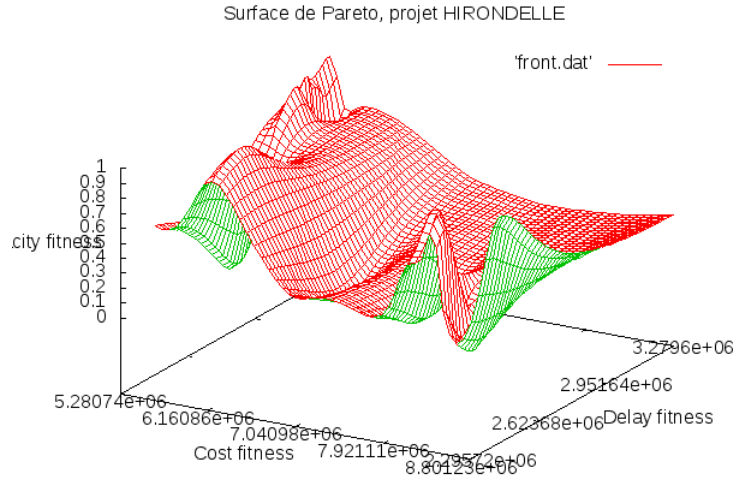


FIGURE 5: Surface de Pareto tiré d'HIRONDELLE à la génération 57.

## 6 EASEA, un framework évolutionnaire

Dans le cadre de la finalisation d'un papier de recherche ayant pour thème la « *Musicalisation*[17] » d'écosystème de calcul financé par le projet *EASEA-CLOUD*, plus tard publié dans le « *Journal of grid computing* », j'ai passé le premier mois d'alternance au CNRS à corriger et compléter les demandes et questions de rapporteurs scientifiques. Les coauteurs faisant principalement partie de l'équipe *BFO* et de l'équipe *UMR3695 BioEmergences* à l'Institut des Systèmes Complexes à Paris, une grande partie de la collaboration s'est faite au travers d'email. Le niveau de qualité demandé se traduisait par un travail précis, documenté et techniquement irréprochable.

### 6.1 Contribution

Le développement sur la plateforme EASEA a été assez libre : c'est au cours de réunions d'équipe *SONIC*, organisé tous les 2 mois compte tenu de la disponibilité et de l'éloignement géographique de certains intervenants que la *roadmap* a été dressée. Une grande partie de cette roadmap, axée sur la parallélisation automatique complète sur CPU et carte *GPGPU*, est du fait de mon initiative après plusieurs discussions communes avec mon maître de stage de l'époque M. Collet. Cette prise de position venait du fait d'avoir travaillé pendant les six mois précédents sur le projet et connaissant parfaitement la *codebase*.

Sous l'égide du projet *EASEA-CLOUD*, je m'occupais de continuer le développement sur la plateforme elle-même.

### 6.1.1 Flex/Bison

Une mise à jour importante du compilateur *EASEA*, concernant l’analyse syntaxique et lexicale, qui embarquait de vieilles technologies propriétaires payantes et abandonnées uniquement disponibles sous *Windows*, s’est révélé nécessaire.

Vétustes et obsolètes, elles impliquaient un workflow de développement très compliqué, nécessitant une compilation en plusieurs temps, sous *Windows* pour la génération des parseurs et sous *Linux* pour le reste du projet. Elles ont été remplacées en faveur d’outils standards dans le domaine de la compilation, *Flex*<sup>15</sup> (analyseur lexical) et *Bison*<sup>16</sup> (analyseur syntaxique), multiplateformes, robustes, activement mis à jour et suivis. *Flex* (*fast lexical analyzer generator*) est un logiciel de génération d’analyseurs lexicaux en *C/C++* tandis que *Bison* est un logiciel de génération de parseur en *C/C++*. Cette modification a été effectuée par un contributeur tiers, et ensuite intégrée après tests et vérifications.

### 6.1.2 Nettoyage de la codebase

Des fonctionnalités diverses, issues de stages, de thèses et de postdoc ont été testées puis intégrées à *EASEA*, dont le *tracking* de la généalogie des individus.

De nombreux chercheurs, stagiaires, thésards et contributeurs tiers ont participé à ce grand projet universitaire au cours des dix dernières années. Des problèmes de style et de performances découlaient du manque de travail d’uniformisation du projet. Un travail de normalisation sur la cohérence du style et de la présentation du code s’est avéré essentiel avant de continuer les travaux sur le projet.

Les parties critiques touchant aux performances de la bibliothèque *EASEA* ont été *refactoré* pour en améliorer la lisibilité, notamment pour la boucle génétique en elle-même. Une amélioration de la gestion mémoire lors de la déclaration des structures utilisateurs liées au génome, plus permissive et poussée, liée au support de l’arithmétique des pointeurs a aussi été intégrée. C’est notamment cette partie qui posait de nombreux problèmes aux premiers prototypes du projet *HIRONDELLE* pendant le séjour de M. Catania. Nous avons travaillé ensemble sur ce nouveau système de gestion du génome. La base de code a été nettoyée de quelques bugs critiques qui nuisaient à la stabilité du système dans son ensemble. Ils étaient en particulier présents dans la gestion des paramètres utilisateurs (choix du port de connexion, choix des pressions de sélection et de réduction) et dans la couche de communication réseau entre les instances. D’autres bugs et malfonctionnement plus légers ont aussi été corrigés lors de l’étape de refactorisation.

Garantir la stabilité d’un tel framework est primordial pour qu’il soit utilisé pour des projets commerciaux ou universitaires de grande envergure, comme dans le cas d’*HIRONDELLE*. Le projet *EASEA-CLOUD* à vocation à être déployable sur toutes les plateformes et architecture. Un gros point noir du projet était le manque de support pour le système d’exploitation *Windows*.

---

15. <http://flex.sourceforge.net/>

16. <http://www.gnu.org/software/bison/>

Le portage d'*EASEA* vers *Windows* a été réalisé avec succès. Il nécessite l'utilisation de *MinGW*. *MinGW*<sup>17</sup> (*Minimalist GNU for Windows*) qui est un environnement de développement pour *Windows* incluant une toolchain de compilation *C/C++* basée sur *GCC*. De par les efforts entrepris sur l'utilisation multiplateforme, *EASEA* est maintenant nativement disponible sur *Windows*, *Linux* et *OSX*.

### 6.1.3 Visualisation

Un début de travail sur des visualisations complexes de diverses métriques a été entrepris. Il s'agit pour l'instant d'une visualisation de la généalogie des individus en utilisant la bibliothèque *JavaScript D3.js*. *D3.js*<sup>18</sup> (*Data driven document*) est une bibliothèque JavaScript de visualisation dynamique et interactive de données se basant sur les capacités des navigateurs Web à gérer les standards *SVG* (dessin vectoriel), *HTML5* et *CSS*.

L'intérêt de ce développement était d'évaluer la possibilité d'utiliser directement des technologies issues du Web, en particulier au niveau du rendu visuel, dans le but d'une intégration plus profonde avec le fonctionnement sur le cloud. Les différents graphiques et visualisations des instances *EASEA-CLOUD* pourraient donc être servis directement sur navigateur, facilitant là encore une prise en main massive et rapide de la plateforme.

Pour *HIRONDELLE* nous avons utilisé les mêmes technologies et idéologies. Toutes les visualisations (front de Pareto, courbe d'évolution des fitness et représentation spécifique au problème) sont disponibles directement sur un browser.

L'ajout d'un système de visualisation (et d'exportation automatique liée) modulaire et générique reste une des fonctionnalités importantes à ajouter à *EASEA* pour en faire un outil complet.

### 6.1.4 Industrialisation

Un des buts de ce CDD était de faire d'*EASEA* un outil facilement utilisable et déployable, et utilisé, nous avons donc entamé un processus d'industrialisation pour faire de la plateforme un outil de qualité professionnelle.

Une première tâche importante consistait à mettre à jour *EASEA* pour supporter les nouvelles versions des *SDK*<sup>19</sup> *CUDA*, les bibliothèques de développement sur cartes *GPGPU* de marque *NVIDIA*, en particulier pour les versions supérieures à 4. Le support des versions récentes de *CUDA* a apporté de la flexibilité et des améliorations de performances au niveau du calcul sur carte graphique.

Sur le même principe, une migration vers des versions du compilateur *C++ GCC* plus récentes, toujours dans un but d'avoir un outil le plus facilement et universellement

---

17. [www.mingw.org/](http://www.mingw.org/)

18. <http://d3js.org/>

19. Software Development Kit

déployable, a été entreprise. *EASEA* étant multiplateforme, le support d'autres compilateurs que *GCC* notamment *Clang*, compilateur préféré sous Mac OSX, a été amélioré. *EASEA* reste néanmoins un outil universitaire s'appuyant sur la contribution de chercheurs et passionnés à travers le monde.

Le code d'*EASEA* à donc était mis sur *Github*<sup>20</sup>, qui est devenu en 2014 le plus grand hébergeur de code au monde et qui propose des outils collaboratifs efficaces. *Github* est un service Web, gratuit pour les projets de type « open source », qui se présente comme une interface des fonctionnalités du système de versionnage décentralisé Git, en plus de ses propres outils de gestion de projet (permissions, *tracker* de bug, canaux de discussion). Ce choix se justifie premièrement par la présence de fonctionnalités et d'outils de travail collaboratif qui se trouvent être spécialement adaptés au projet, regroupant des équipes et laboratoires répartis sur tout le territoire. Cette plateforme d'hébergement de code jouit aussi d'une excellente visibilité dans le milieu du développement du logiciel libre et permet de mieux faire connaître la plateforme *EASEA-CLOUD*, tout en attirant de possibles tiers contributeurs.

Des efforts soutenus de documentation ont été fournis concernant l'accessibilité du code source du projet *EASEA-CLOUD*, qui s'inscrit dans la longue tradition du logiciel libre. Le code source du compilateur et de la bibliothèque *EASEA* a été entièrement documenté selon la nomenclature du système de documentation *doxygen*, qui est le standard pour le développement *C/C++*. Le code source du projet principal, ainsi que des projets annexes de « musicalisation » *musEAc* et de visualisation *GridVis* sont maintenant disponibles et hébergés sur la plateforme *Github*.

De plus, le processus d'installation et de déploiement a été largement simplifié et automatisé. Des systèmes de compilation avancés ont donc été mis en place. Le projet *EASEA* utilise désormais *Cmake*<sup>21</sup> pour la compilation de la plateforme. *Cmake* est un système de compilation multiplateforme et qui permet de s'affranchir des spécificités des différents systèmes d'exploitation. Il nécessite le moins de dépendances possible, le rendant *de facto* très flexible et tout indiqué au développement multiplateforme.

Toujours dans un but d'offrir une plateforme stable et pérenne, l'ajout de script type bash permet au développeur travaillant sur *EASEA-CLOUD* d'effectuer des *tests de régression*, indispensable pour tester le bon fonctionnement de la base de code après une intégration ou une modification de fonctionnalités.

La base de code a aussi été analysée grâce à des outils d'analyse statique (*clanganalyzer*), de graphe d'appel pour détecter les « *hotspots* » (*callgrind*) et *valgrind*<sup>22</sup> pour détecter d'éventuels problèmes liés à la gestion de la mémoire.

---

20. <https://github.com/>

21. [www.cmake.org/](http://www.cmake.org/)

22. [valgrind.org/](http://valgrind.org/)

### 6.1.5 Parallélisation CPU

La première grosse amélioration apportée au cours de ce CDD fut l'ajout de multi-threading complet sur *CPU* de la boucle évolutionnaire. *EASEA* propose depuis plusieurs années de la parallélisation automatique sur carte *GPGPU* mais n'en proposait aucune sur processeurs, beaucoup plus courants. Dû aux spécificités de l'architecture *CUDA* expliquée en détail dans la section précédente, tous les projets n'en tirent pas forcément parti, voire ont des performances inférieures à une exécution séquentielle sur *CPU*.

Une initiative de parallélisation sur *CPU*, se basant sur la bibliothèque *OpenMP*<sup>23</sup>, a porté très rapidement ses fruits en obtenant en quelques semaines une version d'*EASEA* avec tous les opérateurs génétiques parallélisés (évaluation, croisement, réduction et mutation).

*OpenMP* est une *API*<sup>24</sup> de programmation multicœur à modèle de mémoire partagée en *C/C++* et *Fortran*. *OpenMP* fournit une *API* portable et simple d'utilisation.

## 7 La plateforme Web du CSDC

J'ai aussi travaillé en étroite collaboration avec M. Collet et M. Bourguine sur le système informationnel du *Campus Numérique des Systèmes Complexes*.

L'aventure du CSDC s'est montrée instructive sur de nombreux points, en bien comment en mal. En étroite collaboration avec M. Pierre Collet et M. Paul Bourguine, les initiateurs du projet et M. Rudolf Dietrich, développeur, les échanges furent nombreux. La disponibilité en journée des différents interlocuteurs faisant que la plupart de réunion de travail ont eu lieu après les horaires de travail habituels, le jeudi soir. Il est intéressant de noter que le système fonctionne sur la base d'une hiérarchie floue où toutes entités peut être rattachée une autre (cf. fig 1). Cela a pour but de favoriser les échanges transversaux entre différentes équipes de recherche, tant bien même qu'elles fassent partie de filières différentes.

Le projet était encore très vague dans ses débuts, donnant lieu dans des spécifications particulièrement mouvantes. Avec du recul ce début de projet s'apparente très fortement à un travail de recherche : les modélisations de la hiérarchie floue que devait proposer la plateforme Web du CSDC en est un bon exemple.

Les différents types d'entités du CSDC sont les suivantes :

- E-Departement
- E-Lab
- Project-Team
- Ressources
- Commitee
- Individual member

---

23. <http://openmp.org>

24. Application Programming Interface

Chacun de ces types d'entités se caractérise au minimum par un nom, un représentant, responsable scientifique, une description du projet scientifique de l'entité et une liste de membre. À cela s'ajoutent des informations complémentaires : co-représentant, liste de mot-clé et d'autre information liée au type lui-même.

Plus formellement, les entités du csdc forment un treillis avec une relation d'ordre partielle sur leurs types. Ces interactions étant trop nombreuses à décrire, le tableau décrivant cette relation d'ordre est disponible en annexe.

## 7.1 Python et framework Django

Venant sur un projet en ne connaissant ni le langage ni le *framework* Web *Django*, j'ai rapidement appris le fonctionnement de ces deux derniers grâce à leurs documentations très fournies et illustrées ainsi que par l'aide la communauté *Python & Django*, très présente sur internet.

Je me suis familiarisé avec la *codebase*, déjà très volumineuse du projet ainsi qu'avec l'architecture *MVC*<sup>25</sup> du *Django*. L'apprentissage de l'*ORM*<sup>26</sup> a été un peu plus long, dû à sa complexité.

## 7.2 Contribution

### 7.2.1 Mise en place d'un système de templating de mail

Une des problématiques rencontrées était que la plateforme Web devait être capable d'envoyer un certain nombre de modèle d'emails, et que les modèles doivent pouvoir être modifiés rapidement par les différents acteurs de la plateforme.

En effet, un représentant d'une entité interconnectée à d'autre de niveaux hiérarchique plus faible, peut envoyer des emails aux différents membres les constituants.

Une interface sous forme d'application Web complètement générique épaulée par une petite API *RESTful*<sup>27</sup> permettant aux administrateurs de la plateforme de modifier rapidement le type et contenu des emails envoyés suite à certains événements définis en interne été mise en place.

Le développement du système de templating d'email s'est fait sans l'aide de bibliothèques tierces, qui après recherche minutieuse ne correspondaient pas aux exigences du projet de genericité et de flexibilité du projet.

### 7.2.2 Exportation/importation Wikiversity

La plateforme du *CSDC* se veut la plus ouverte et transparente possible. Il a donc été décidé de mettre en place un système d'import/export des différents contenus, formulaires et descriptifs d'entité vers le portail *Wikiversity* du projet. Le projet *Wikimedia*<sup>28</sup>,

---

25. Model-View-Controller

26. Object-relational mapping

27. Representational State Transfer

28. <https://www.wikimedia.org/>

le *CMS*<sup>29</sup> derrière *Wikipédia* et ses sites satellites, fournit un *bot* en *Python* pour faciliter la création et édition de pages automatiques. *Pywikibot* est facile de prise en main, une fois l'architecture et les tags de site *Wikimedia* compris.

Des guidelines quant à l'utilisation d'outils automatisés sont à respecter, tel que la fréquence de mise à jour, l'utilisation d'un compte avec des autorisations spécifiques validées pour un administrateur, et la présence de tags indiquant la nature du robot et de ses changements dans les messages de commit des articles.

### 7.2.3 Visualisation

Développement d'interface graphique novatrice pour expliciter la complexité du système (liens entre les différentes entités) tout en restant lisible et compréhensible. Ces différentes visualisations se basent sur la librairie *JavaScript D3.js*, déjà évoquée plus haut et *OpenLayer*<sup>30</sup> pour la partie cartographie. Elles se sont montrées assez rapidement nécessaires une fois une première phase de *beta-testing*, le nombre d'entités et leurs interconnexions ayant alors significativement augmenté.

Ces visualisations sont aux nombres de trois :

**Cartographie Map** Création d'une carte avec *OpenLayer* et fonds de cartes *OpenStreetMap* pour répertorier géographiquement les institutions et les équipes de recherches affiliées. Ne manipulant que des adresses postales, le service de geocoding *Nominatim*<sup>31</sup> du projet *OpenStreetMap* a été utilisé. Là encore, les règles de bonne utilisation de l'*API* publique à du être respecté, notamment le taux de requête par seconde. Une fois les informations *GPS* d'une adresse obtenues celle-ci est mise en base pour améliorer les performance pendant la navigation.

**Marguerite** La visualisation des interconnexions entre entités du *Campus numérique des Systèmes complexes* se fait à travers une « *marguerite* ». Il s'agit d'une technique de visualisation récente appelée « *Hierarchical Edge Bundling*[13] » dont la qualité première est d'offrir une vue d'ensemble de graphe fortement connexe. Il s'agit d'un module proposé par *D3.js*.

**Matrix** La navigation à travers les entités du *csdc* a posé un véritable souci d'ergonomie. Pour pallier à cela, une matrice entre les éléments de niveaux hiérarchiques égale à prouver son efficacité. Entièrement en *JavaScript*, elle se base sur *Jquery*.

### 7.2.4 Notification interne

De très nombreuses interactions requièrent des validations utilisateurs. Un système de notification interne au site a été mis en place, pour pouvoir gérer en une partie les *use-cases* suivant : des interactions entre les différentes entités (demande de rattachement,

---

29. Content Management System

30. [openlayers.org/](http://openlayers.org/)

31. <https://nominatim.openstreetmap.org/>

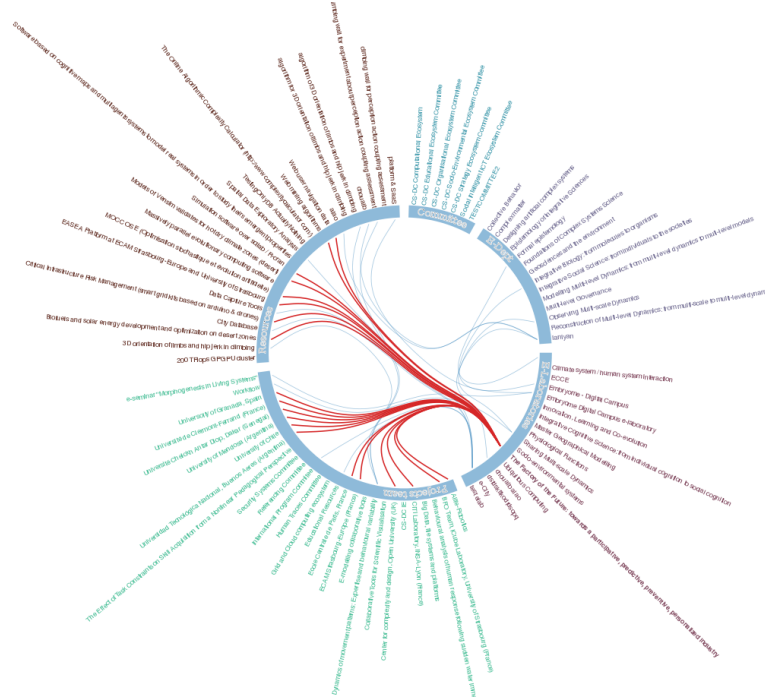


FIGURE 6: Représentation par Hierarchical Edge Bundling des interconnexions des entités du CSDC.

description incomplète, etc.) et utilisateurs. Des notifications de plusieurs types sont supportées comme des modales (boutons de choix) ou infobulles.

Là encore, les bibliothèques et autres modules *Django* de notification se sont révélés peu adaptés aux besoins de la plateforme, ce qui nous a poussés à développer notre système *ex nihilo*.

## 7.2.5 Modélisation

Le projet étant déjà bien entamé, les ajouts de fonctionnalités nécessiteront d'être intégré avec soin à la base de données existante. Le projet étant sous *Django* 1.6, les migrations automatiques n'étaient pas encore disponibles avec la base *PostgreSQL* en production. Le module de migration *South* avait vocation à être ajouté au *workflow* de développement, facilitant les changements sur les modèles de données internes.

*PostgreSQL* et ses outils associés de visualisations ont aidé à réduire la taille et la complexité de la base de données, tâche de fond pendant toute la durée du projet. Le cycle de développement très rapide, parfois seulement une journée de la conception à la mise en production, à souvent causé problème avec le *workflow* de modification de la base de données, requièrent souvent une intervention manuelle.



### 7.2.6 Refactoring

Des outils de refactoring et d'aide à la qualité de code performant ont été utilisés dans un premier mouvement de nettoyage de la codebase tels que *Pylint*, *pyStorm*, et la convention *Pep8*. *Pylint* est un analyseur statique de code qui indique les mauvaises pratiques : fonctions trop longues, complexité cyclomatique élevée, variable utilisée sans être initialisée. De plus *Pylint* offre une analyse de la duplication de code et prodigue des conseils pour suivre la méthodologie *DRY* (*Don't repeat yourself*) très chère à la communauté Python.

*Pylint* incorpore avec un module de vérification de style *pep8*<sup>32</sup> : ligne trop longue, nom de variable mal formé, importation de modules inutiles. *Pep8* est la convention de code *Python* standard, qui tire sa philosophie du fait que le code est plus souvent lu qu'écrit.

Ces outils ont permis de corriger des bugs jusqu'alors non détectés et d'améliorer la lisibilité du code tout en facilitant le *refactoring*, nécessaire sur un projet aussi verbeux (> 30K *loc*<sup>33</sup>). Le refactoring à proprement parlé s'est fait grâce à *pyStorm*, un *IDE*<sup>34</sup> payant offert aux étudiants au travers du programme d'aide aux étudiants de *Github*.

## 8 Le projet HIRONDELLE : Spécialisation poussée sur les techniques évolutionnaires et l'architecture CUDA

J'ai continué ce projet de R&D en me basant sur les travaux effectués par le dernier développeur et post-doctorant ayant travaillé dessus, Carlos Catania toujours dans le cadre de la collaboration entre *Synovo* et le laboratoire *ICube*.

Étant déjà familiarisé avec le travail de Carlos lors de mon stage dans l'équipe *BFO* qui s'est déroulé de début février à juillet 2014 sur le projet *EASEA*, j'avais une bonne compréhension des différents éléments du projet.

Les problématiques techniques rencontrées étaient les suivantes : problèmes de gestion de la mémoire entre le système et les cartes *GPGPU*, le manque d'implémentation d'algorithmes efficaces pour gérer les critères multiples ainsi que le fait que l'algorithme en lui-même n'est pas complètement finalisé.

J'ai récupéré de M. Catania l'intégralité de ses notes, comptes-rendus de réunion ainsi que tous le code développé durant le déroulement de son postdoc en *BFO* : prototypes divers, expérimentations, etc. Un prototype fonctionnel était déjà disponible et fournissait des résultats allant dans la bonne direction malgré le fait qu'il n'intégrait pas toutes les contraintes et données du problème.

L'implémentation a été faite sur la plateforme *EASEA* et correspond à environ 5K *loc* de *C++*. Le prototype fonctionne en version *CPU* parallélisée et en version *CUDA* massivement parallèle. Entre la version *CPU* et *CUDA*, l'implémentation *CUDA* était trois

---

32. <https://www.python.org/dev/peps/pep-0008/>

33. 1 KLOC : 1,000 ligne de code

34. Environnement de développement

fois plus lente. Ceci était dû à plusieurs raisons : l’empreinte mémoire du génotype qui entraînait des tailles de populations importantes (plusieurs *gigaoctets* pour quelques milliers d’individus) et code des opérateurs non optimisés pour le traitement sur *GPGPU*. Cependant, la qualité des résultats expérimentaux obtenus était satisfaisante.

## 8.1 Description fine du problème

### 8.1.1 Problématique

Comme énoncé en introduction, la problématique est de fournir une tournée de véhicules sanitaire en réduisant les coûts de fonctionnement, la durée de la planification (temps d’utilisation des véhicules et employé) et en maximisant des contraintes de qualité de service. L’algorithme doit ensuite être intégré à *Saphir*, la solution de Synovo pour les sociétés et services de transport ambulancier. Dans un premier temps, l’optimisation se fait de manière ponctuelle. À l’appui sur un bouton dans l’interface de régulation, les données des missions journalières sont sérialisées et exportées sur le serveur d’optimisation qui lance alors le calcul.

L’utilisateur, une fois le processus d’optimisation entamé peut alors récupérer à tout moment une planification complète de la journée. Il est à noter que dû à sa nature d’algorithme d’optimisation non déterministe évolutionnaire, les résultats obtenus pendant les premières générations d’hirondelle sont d’assez mauvaise qualité. Au fil des générations, la qualité des résultats s’améliore grandement.

Le projet correspond à des problèmes d’optimisation de type « *vehicle routing problem* » (VRP), sujet dont la littérature académique est riche[15, 28, 15] et ayant déjà ses variantes propres au monde de la santé, regroupées sous les coupes des « *healthcare management science* ». Nous nous situons sur modèle de type « *Delivery pickup vehicle routing problem with time windows*[27, 15, 22] » (DPVRPTW), vu que les patients doivent être récupérés et délivrés à une heure précise. Une recherche exhaustive n’est pas possible dû à la nature combinatoire du problème, *NP-Complet*[7].

Nous proposons donc une résolution par algorithme génétique multicritère optimisant le coût du planning, les délais d’attente et de retard pour les patients et certaines contraintes de qualité de service décrite dans la section suivante.

L’idée innovante derrière *HIRONDELLE* est qu’il s’agit d’un algorithme dit *Anytime*. Peu importe quand l’utilisateur demande une solution, l’algorithme va à tout moment renvoyer une réponse valide, et va continuer à améliorer ses résultats avec le temps. De surcroît, l’optimisation est dynamique : le problème à optimiser va changer avec le temps en prenant en compte les réalités du terrain : Retard sur une mission, annulation, changement d’horaire. Des résultats théoriques ont montré la grande résilience et flexibilité des processus évolutionnaires avec des problèmes interactifs[3, 10, 1], ce qui nous a naturellement poussés vers cette branche des méthodes stochastiques plutôt que certaines techniques plus répandues comme les recherches taboues[7].

### 8.1.2 Transfert de données et communication

Les données du problème à optimiser sont créées et exportées par *Saphir* sous forme de données binaires sérialisées sous format *protobuf*<sup>35</sup> de Google. Ce choix a été avant mon arrivée, sur le prototype développé avec EASEA. J'ai décidé de garder cette technologie de par sa facilité d'utilisation et sa robustesse, ce qui en fait un choix pertinent pour le projet.

*Protobuf* est un système de sérialisation de donnée développé par Google pour faciliter les échanges de données structurées entre back-end. La désérialisation est particulièrement rapide, *Protobuf* n'incluant aucun système de compression. Les descriptions des binaires *Protobuf* suivent une syntaxe simple et sont automatiquement gérées côté C# par *Saphir* lors de l'exportation.

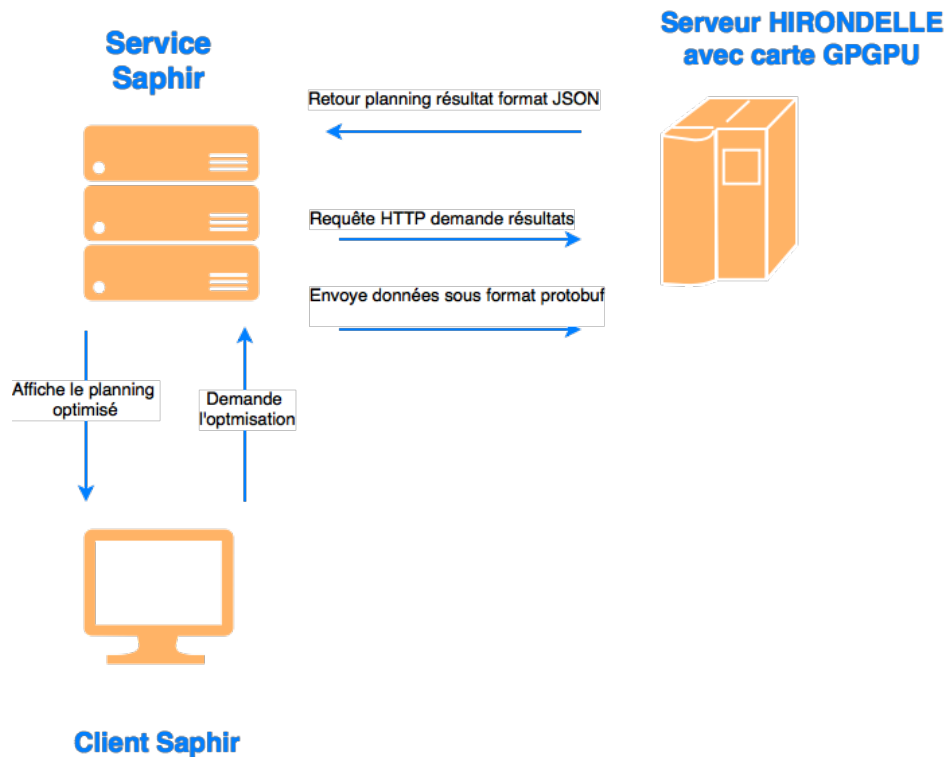


FIGURE 7: Description de l'architecture du projet.

### 8.1.3 Matrice de distance

L'algorithme ne fait aucun calcul de distance et de durée entre les adresses des missions, mais les récupère à travers une matrice représentant le produit cartésien entre

35. <https://developers.google.com/protocol-buffers/>

tous les points du problème. Pour chaque adresse, on peut donc récupérer la distance en kilomètres et la durée en secondes avec toutes les autres. Là aussi, la pertinence de ce mécanisme m’a poussé à le garder, après un changement de structure de données sous-jacente pour permettre plus facilement la mise à jour de ses données et réduire son empreinte mémoire.

Ce cube est généré du côté C# par le back-office de *Saphir* en s’appuyant du moteur de cartographie *PTV* qui calcule la durée et la distance entre deux points de manière prévisionnelle d’après des statistiques de trafic routier.

#### 8.1.4 Architecture de données

S’agissant d’un projet de R&D, la phase de prototypage a été assez longue. Les modèles de données ont changé plusieurs fois d’avril à juin. Voici une courte explication du data layout actuel :

Une mission (*journey*) est composée deux *planned element*, de type début et arrivée. La mission spécifie quels types de véhicules doivent être utilisés et la facturation au client.

Un *planned element* est une description contextuelle liée une adresse : heure de passage (*timestamp UNIX*), identifiant d’adresse, type d’événement (récupération ou dépôt de patient). Les véhicules ont une capacité de passagers, un coût au kilomètre, un coût à l’heure ainsi qu’un type dont découle certaines contraintes. Les quatre types de véhicules possibles sont les suivants :

- VSL
- TPMR
- Ambulance
- Taxi

Ces types ont des caractéristiques différentes : capacité, équipements et taille de l’équipage requis.

Enfin, les employés ont un coût à l’heure définie par une fonction affine par morceaux (*piecewise*), et plusieurs types de diplôme et certifications possibles. (licence de taxi, brevet de secourisme).

Cette *piecewise* permet de nous abstraire de certains calculs plus complexes, car elle prend en compte le nombre d’heures déjà travaillées dans la semaine. Elle est aussi modifiée pour garantir certains comportements par exemple si un employé ne peut commencer qu’après 10h, on va assigner des valeurs arbitrairement hautes, pour qu’il ne soit pas en charge d’une mission démarrant antérieurement.

**Génome** Le génome de nos individus (solution) est composé de deux parties distinctes pour des raisons de facilitation des manipulations par les opérateurs de *cross-over*. La première partie est un tableau contigu de *Fare*, structure référençant des éléments dans les données du problème pour réduire la taille des populations. Une *Fare* est constitué de référence par index sur un *planned Element*, deux employés et diverses données

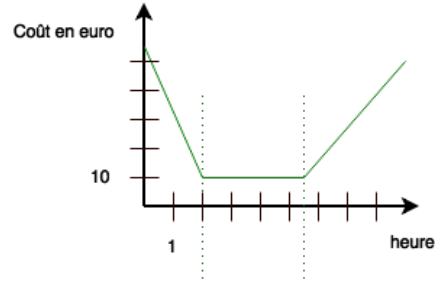


FIGURE 8: Fonction affine par morceaux (Piecewise function) du cout d'un employé selon l'heure de la journée.

qui elles sont redondante, pour d'optimiser les latences des accès en mémoire globale sur GPU.

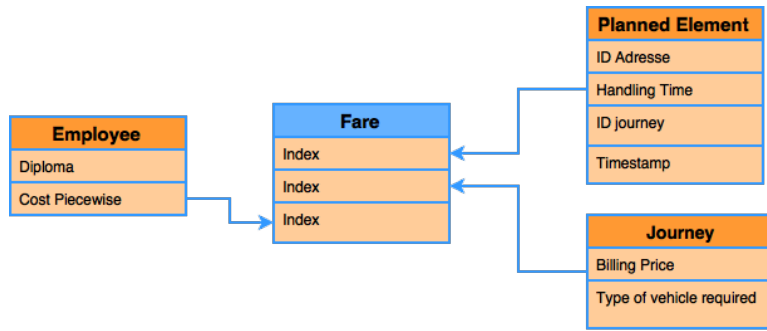


FIGURE 9: Description d'une fare.

La deuxième partie est un simple tableau entier représentant la longueur de la tournée de chaque véhicule. En parcourant ce tableau, on peut connaître l'offset à appliquer dans le premier pour accéder au *Fare* de chaque véhicule.

Cette représentation est justifiée par le fonctionnement de l'opérateur de *cross-over* *BCRC*[22] utilisé.

### 8.1.5 Contraintes

Cette optimisation est considérée comme difficile par son caractère multidimensionnel évoqué plus haut et les nombreuses contraintes à prendre en compte. Le modèle *Delivery-Pickup* utilisé, en plus des contraintes de fenêtre de temps et de capacité, en fait un problème *NP-Comple*t.

On en distingue de trois types de : contraintes « *hard* », « *soft* » et les objectifs discrets.

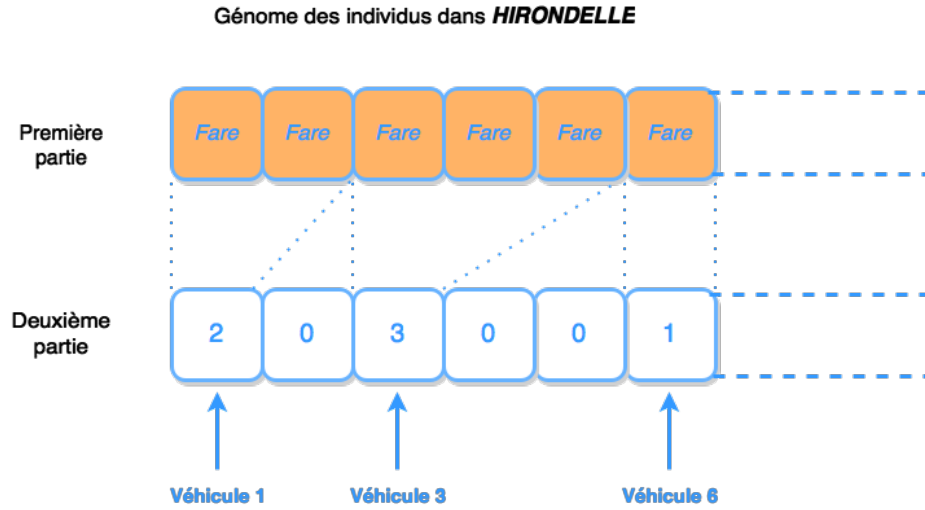


FIGURE 10: *Génome des individus du projet HIRONDELLE.*

**Contraintes *hard*** Les contraintes *hard* représentent des cas de nullité d’une solution. La violation d’une contrainte *hard* signale une incohérence ou une impossibilité physique rendant la solution non exploitable :

- Mission assignée au mauvais type de véhicules
- Véhicule en surcharge
- Employé « *ubiquitaire* », présence sur plusieurs véhicules simultanément
- Pas de pause de plus de 20 minutes toutes les 6 heures pour une employée
- Employé travaillant plus de 12 h par jour

**Contraintes *soft***

- Choix d’un VSL plutôt qu’un taxi pour les trajets de plus 9 kilomètres
- Équipage roulant mixte
- Employé ayant une mauvaise relation avec un client
- Équipage ne parlant pas la langue d’un client
- Équipage n’ayant pas le même nombre d’heures déjà travaillées

**Objectifs discrets :** Et les objectifs discrets :

- Le nombre de kilomètres parcourus
- Les délais d’attentes ou de retards entre les missions

Pendant de l’évaluation, les malus associés aux différentes contraintes sont agrégés aux différents objectifs. Ici, le tableau des deux échelles de contraintes :

Type Contraintes	Borne inférieure	Borne supérieure
Forte (hard)	50 000	5 000 000
Faible (soft)	10	500

La valeur des malus suit un système à deux échelles : les malus de contraintes fortes sont supérieurs à la somme de toutes les contraintes faibles possibles. Le processus évolutionnaire va donc commencer par se diriger vers des solutions réduisant et à terme faisant disparaître les contraintes, pour ensuite chercher à améliorer les contraintes faibles et les objectifs discrets. Nous obtenons alors une optimisation en deux temps : d'abord, recherche d'individus « valables », puis l'optimisation a proprement parlé.

Dans les faits, définir la somme des contraintes faibles pouvant être violées pour un jeu de données est une tâche non triviale, car combinatoire par nature. Une valeur seuil arbitrairement choisi est utilisé pour l'instant. Des métaheuristiques vont être développées dans le futur, pour avoir un jeu de poids de malus dynamique selon les données ce qui rendra l'algorithme plus flexible et résilient aux erreurs dans les inputs.

### 8.1.6 Évaluation

Les calculs de fitness de coût et de délai peuvent être partiellement modélisés mathématiquement selon les formules suivantes :

$$\text{Coût} : \sum_{i=1}^n (\sum_{j=1}^{i_{nbFare}} (\text{coûtTrajet}(j, j+1) + \text{coûtEmployé}(j) + \sum_{k=1}^{nbContrainte} (\text{contrainte}(k))))$$

$$\text{Délai} : \sum_{i=1}^n (\sum_{j=1}^{i_{nbFare}} (\text{tempsTrajet}(j, j+1) + \sum_{k=1}^{nbContrainte} (\text{contrainte}(k))))$$

Certaines contraintes plus complexes, notamment celles relevant de la gestion des employées requièrent une modélisation plus poussée, en dehors du cadre de ce mémoire.

## 8.2 État de l'art des VRP

Une grande partie du travail de recherche à proprement parler que j'ai effectuée consiste à lire des articles et ressources académiques sur le sujet de l'optimisation de tournée de véhicule et à bien comprendre les technique et méthode énoncés. Du fait de la spécificité du sujet, je me suis dirigé vers des variantes de *VRP* plus en accord avec la problématique : *PDVRPTW* (*Pickup Delivery VRP with time window*) et *DVRP* (*Dynamic VRP*).

J'utilise principalement des recherches par mot-clé sur Google Scholar ainsi qu'en parcourant les *proceeding* des grandes conférences sur les algorithmes évolutionnaires : *PPSN*, *evoStar* et *Gecco*.

L'expertise qui m'est demandée est de pouvoir rapidement décider si telles ou telles techniques sont viables et réalisables dans des délais acceptables. M. Collet supervise tous les choix scientifiques sur la partie génétique et c'est avec lui que je confronte les éléments qui me semblent pertinents. Lors de difficulté, nous entamons un dialogue sur les méthodes de résolution à appliquer.

### 8.2.1 Cross-over adapté aux VRP

De nombreuses expérimentations d'opérateur génétique ont été entreprises, principalement au niveau de la reproduction (*cross-over*).

**One point cross-over** Le cross-over utilisé dans le premier prototype récupéré de M. Catania dans le projet *HIRONDELLE* était un simple cross-over *one point*, standard dans la plupart des algorithmes génétiques. Il consiste à sélectionner aléatoirement un point de coupe dans deux individus (encodé sous forme de tableaux contigus en mémoire) et de créer un enfant à partir des parties des parents.

Le problème de ce cross-over venait du fait que des informations sur le problème à optimiser étaient perdues au cours de la reproduction des individus résultant en une optimisation inutilisable. De plus, la convergence de l'algorithme n'était pas suffisamment rapide.

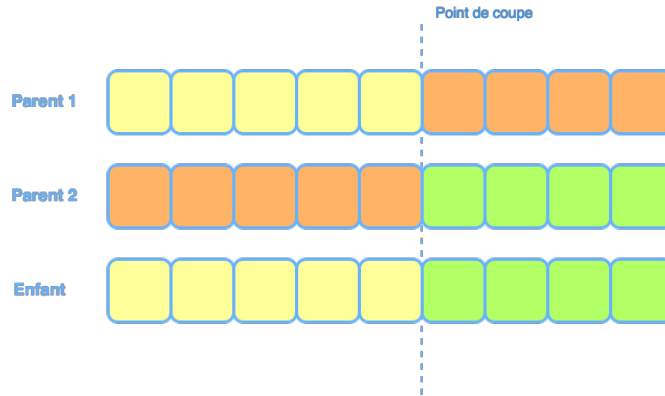


FIGURE 11: *Cross-over one point.*

**BCRC** Pour corriger les problèmes du cross-over mono-point, un *cross-over* dit *BCRC*<sup>[22]</sup> (*Best cost route cross-over*) plus récent et plus adapté au problème de *VRP* fut sélectionné pour le remplacer de mon initiative. N'ayant pas d'implémentation disponible, il fut d'abord prototypé en *Python* à l'aide du framework évolutionnaire *DEAP* sur un problème de *VRP* synthétique en utilisant les jeu de données de *VRP* standard de Solomon<sup>[27]</sup>. Après validation des résultats, je l'ai porté en *C++*, non sans difficulté du fait de son utilisation massive de structure de données dynamique, délicatesse non permise pour l'architecture *GPU* visée pour des raisons de performances. Cette implémentation *C++* fut la source de bien des déboires tant au niveau de l'implémentation que des performances sur *GPU* du fait de ses nombreuses divergences et de la nécessité d'allocation mémoire dynamique.



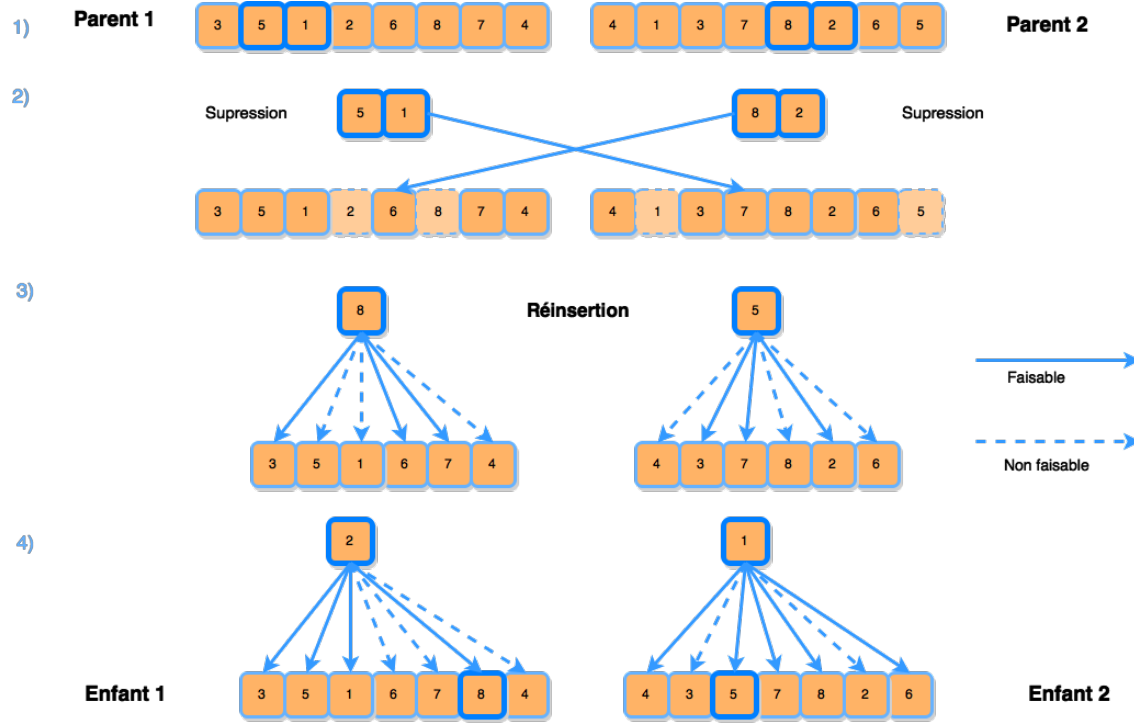


FIGURE 12: Best Cost Route Cross-over.

**EAX** Une grande nouveauté dans les techniques de crossover pour les problèmes de *VRP* fut l'apparition d'*EAX*[21]. *EAX* est un crossover basé sur la recombinaison d'arrêts de graphe (*Edge recombinaison*). Il permet au GA de rivaliser en qualité avec les autres types de métaheuristique en particulier les recherches *taboues* pour les grandes instances de *VRP* ( $> 30000$  « villes »).

Je m'occuperai de sa mise en place dans le futur, et s'il présente des avantages concrets en terme d'accélération et de qualité des résultats obtenus, il remplacera le *cross-over BCRC* actuelle.

### 8.2.2 Sélection et ranking : NSGAII et ASREA

Une des grosses avancées de ces dernières semaines est le remplacement de l'algorithme de sélection *NSGA-II*[6] au profit d'*ASREA*[25, 29].

*NSGA-II* est de facto l'algorithme de *ranking* et de sélection des *MOEA*, avec une complexité asymptotique en  $O(mn^2)$  avec  $m$  nombre d'objectif et  $n$  nombre d'individu. Les implémentations en *C/C++* de *NSGA-II* sont nombreuses, ce qui a justifié son choix dans un premier temps par M. Catania.

Avec de grandes tailles de populations ( $>10\ 000$  individus), le temps pris par *NSGA-II* devient significatif par rapport au reste de l'algorithme. Il se base sur le classement de rang selon le principe de *Pareto dominance* déjà évoqué plus haut. J'ai donc décidé

d'utiliser *ASREA*, un algorithme de *ranking* par archive récent et innovant en  $O(man)$  avec  $a$  taille de l'archive, et sa variante parallélisée sur *GPU*, *G-ASREA*[26].

*NSGA*, comme *ASREA*, propose une gestion de l'élitisme, le premier par son classement déterministe de rang et le second par l'utilisation d'une archive des meilleurs individus. Une explication plus poussée des deux algorithmes est disponible en annexe. Les accélérations d'*ASREA* et *G-ASREA* sont très impressionnantes par rapport à *NSGA-II*. M. Collet m'a fourni une implémentation pour *GPU* d'*ASREA*. Le code de

Problem		ZDT1			Speedup ratio		
Pop↓	MOEAs→	NSGA-II (N)	ASREA (A)	G-ASREA (G)	N/A ratio	N/G ratio	A/G ratio
100		0.000573	0.000101	0.000119	5.6732	4.8151	0.8487
1000		0.037833	0.000999	0.000162	37.8708	233.5370	6.1666
10000		4.304927	0.009971	0.000817	431.7447	5269.1884	12.2044
100000		-	0.098142	0.007011	-	-	13.9983

FIGURE 13: Comparaison des temps et accélérations entre *ASREA*, *NSGA-II* et *G-ASREA* sur une minimisation de fonction *ZDT*[32].

l'algorithme était fortement imbriqué dans un programme de benchmarking synthétique de *GA* (*ZDT functions*[32]).

Nous avons continué le travail de parallélisation sur *G-ASREA* pour qu'il soit exécuter en son intégralité sur *GPU*. Après extraction, refactoring et adaptation, nous avons pu bénéficier d'accélérations répertoriées dans la table suivante :

Nombre d'individu	NSGA-II	G-ASREA
1024	5 ms	2 ms
16 384	464 ms	19 ms
32 768	1563 ms	27 ms

TABLE 1: Temps de la sélection, moyennes sur 50 générations.

### 8.3 Implémentation CUDA

Tout au long de cette section, la terminologie relative aux technologies et les technologies elles-mêmes *CUDA* seront explicitées et mises en perspective avec le développement du projet *HIRONDELLE*.

Pour bien comprendre le modèle de calcul de l'architecture *CUDA*, une petite explication du modèle *SIMD* et *MIMD* est requise. Ces modèles de parallélisme sont répertoriés par la *taxonomie de Flynn*.

#### 8.3.1 MIMD

*MIMD* (*multiple instruction, multiple data*) est la technique de parallélisme la plus courante des processeurs modernes.

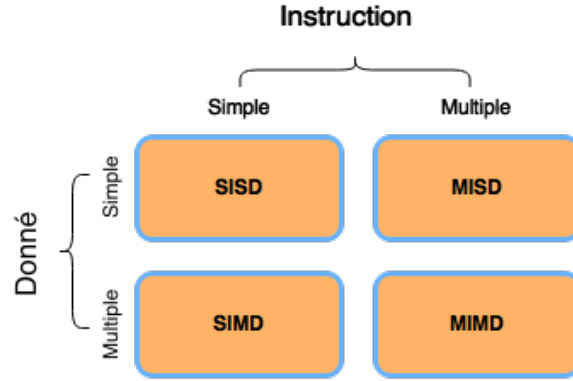


FIGURE 14: Taxonomie de Flynn.

En *MIMD*, les différentes unités de calcul (cœur) peuvent travailler de manière asynchrone et indépendante sur des données différentes, *i.e* à un moment  $t$  donné des instructions différentes sont effectuées sur des entrées différentes. Cela permet concurrence et parallélisme au niveau des données. D'un point de vue hardware, la mise en place d'un tel procédé requiert une architecture complexe et couteuse, présence de cache, registre et pipeline indépendant pour chaque unité de calcul et gestion de changement de contexte. Ces prérequis matériels limitent le nombre d'unités de calcul sur une puce.

### 8.3.2 SIMD

La vision radicalement opposée que propose l'architecture des cartes *GPGPU* est le modèle *SIMD* (*Single instruction multiple data*). Ici, les unités logiques sont nettement moins complexes et de fait bien plus nombreuses (2880 cœurs sur *NVIDIA titan*). Une unique instruction est effectuée simultanément sur des entrées différentes. Cela permet d'exploiter le *data level parallelism*, mais ne permet pas de concurrence. À travers l'utilisation d'algorithmes adaptés, des accélérations massivement peuvent être atteintes, avec un ordre de magnitude de plusieurs centaines de fois.

### 8.3.3 Architecture software

**Threading model** Le *C CUDA* est une extension du langage *C* (avec une partie des spécifications du *C++*). Ce métalangage[24] introduit des qualifier pour les fonctions et pour les déclarations de variable qui spécifie quelle partie du code doit être compilée avec le compilateur *CUDA nvcc* et où elles doivent être exécutées (*host/CPU* ou *device/GPU*).

- **global**, depuis l'*host* vers le *device*. Il s'agit des *kernels*.
- **device**, depuis le *device* vers le *device*
- **host**, depuis l'*host* vers l'*host*

Les fonctions qualifiées de **global** sont appelées **kernel** : elles seront exécutées  $n$  fois en parallèle sur la carte selon leurs configurations d'appel.

Un appel de *kernel* utilise la syntaxe suivante qui définit le nombre d'exécutions :

```
kernel<<< NumberOfBlock, BlockDimension>>> ( kernel arguments,...);
```

Chaque thread exécutant un *kernel* se voit attribuer un unique identifiant relatif à son block, accessible grâce à la variable built-in *threadIdx*. Le threading model de l'architecture *CUDA* est pensé pour exploiter au maximum le modèle *SIMD* grâce à une gestion fine de l'indexage des threads.

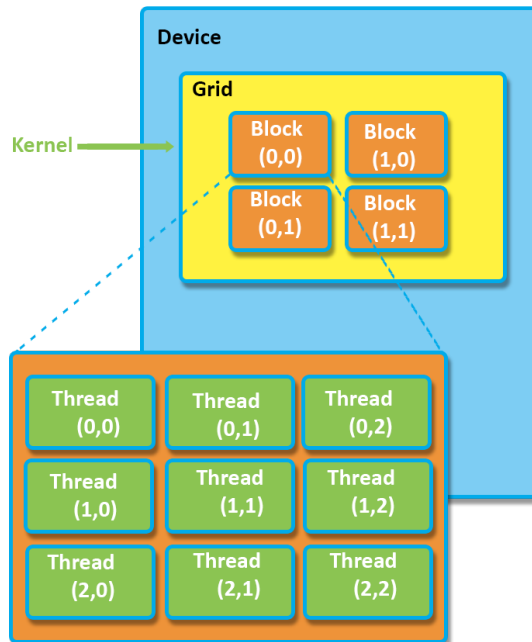


FIGURE 15: Schéma du modèle de threading de l'architecture *CUDA*

**Block** Les *threads* *CUDA* sont regroupés en *blocks*, eux-mêmes regroupés sur une *Grid*. Les *threads* ont un unique identifiant au sein de leurs *blocks*, tout comme chaque *block* à un unique identifiant au sein d'une *Grid*. Au niveau des *kernels*, une petite arithmétique d'indexage permet de calculer des index de tableau continu, pour que chaque thread ne modifie que des cases mémoire distinctes, pour éviter les « *race condition* », comme le montre ce court extrait de code :

```
int tid = blockIdx.x * blockDim.x + threadIdx.x;
```

**Thread** Les *threads* d'un même *block* sont exécutés sur un *multiprocesseur* (*MP*), avec la possibilité de synchronisation (*barrier*) et de mémoire partagée. *NVIDIA* définit un autre groupement, plus fin, de *threads* au sein d'un *block*, appelé *warps*. La gestion de la répartition des *blocks* sur les multiprocesseurs (physique) est gérée par le *runtime driver CUDA*, dépendamment du type de *scheduling* choisie (dynamique, statique, etc...).

Selon l'architecture *CUDA* visée, "*sm\_compute 35*" dans notre cas, les limites de nombre de *block*, de *threads* par *block*, du nombre de *threads* par *warp* varient. Du fait de regroupement par *warps*, cela n'a pas vraiment d'intérêt de choisir une taille de *block* non multiple de la taille des *warp* (qui elle aussi dépend de l'architecture et du hardware lui-même). L'optimisation *CUDA* demande donc une connaissance du matériel qui va être utilisé.

Voici le tableau des spécifications de la carte *GPGPU* cible, la *NVIDIA titan* :

Nombre de multiprocesseurs	15
Nombre de coeurs par MP	192
Nombre de coeurs total	2880
Vitesse d'horloge d'un coeurs	980 Mhz
Mémoire global	6144 MBytes
Taille des warps	32
Nombre de registre 32 bit par block	65536
Nombre de thread par block	1024
Nombre de thread par MP	2048

TABLE 2: Spécification de la carte *NVIDIA Titan*

**Compilation** Le *runtime driver CUDA* en lui même est un petit système d'exploitation : *scheduler*, gestion mémoire et changement de contexte et plus étonnant même, compilateur *Just-in-time (JIT)*. Les évolutions d'architecture étant tellement importantes et imprévisibles que pour garantir la rétrocompatibilité de code *CUDA*, les binaires intègrent directement l'assembleur *PTX*<sup>36</sup> intermédiaire.

La raison est la suivante : si l'architecture du matériel exécutant le programme diffère de l'architecture cible à la compilation, le *runtime driver CUDA* va recompiler tout le code *CUDA* à la volée au premier lancement de *kernel*.

Les temps de compilation avec le compilateur *nvcc* sont relativement longs, qui se retrouvent être par moment assez désagréable.

### 8.3.4 Architecture physique

Les *GPU NVIDIA* ont un certain nombre de multiprocesseurs ou *stream multiprocesseurs* et *stream processeur* (les 2880 « *cores* »). Les *multiprocesseurs* sont capables d'exécuter en parallèle des instructions différentes, mais les *warps* au sein de *block* de *thread* exécutent une seule instruction simultanément au travers d'un modèle *SIMD* modifié, le *SIMT* (*Single Instruction, multiple Thread*).

36. <http://docs.nvidia.com/cuda/parallel-thread-execution/>

Le modèle *SIMT* est capable de gérer les branchements conditionnels en désactivant dynamiquement les cœurs exécutant des branches différentes, pour faciliter le travail du développeur. Cela entraîne une baisse de performance appelée divergence, donc nous discuterons dans les sections suivantes.

### 8.3.5 Hiérarchie mémoire

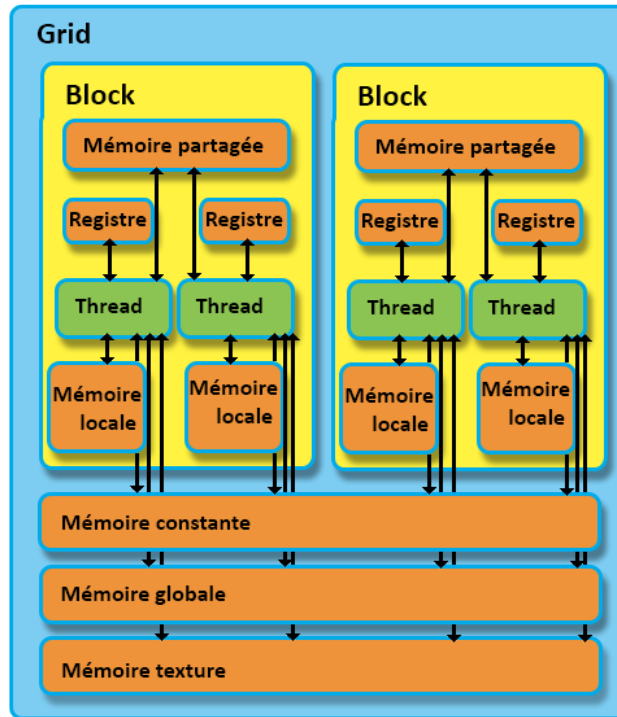


FIGURE 16: Les différents type de mémoire de l'architecture *CUDA* et leurs portées.

La hiérarchie mémoire de la plateforme *CUDA* est assez simple si ce n'est un peu long. Ici ne seront donnés que les points clés pour aider à la compréhension du lecteur. Il y a six types logiques de mémoire différente correspondant à plusieurs zones mémoire physiques différentes :

**Globale** Les accès à la mémoire globale de type *DRAM* sont lents, et ce malgré un système de *cache* hardware. C'est le type de mémoire le plus important en capacité. La plupart des accès mémoire dans hironnelle réfère à la mémoire globale malgré les efforts répétés d'utiliser convenablement les autres. Y sont présentes les données du problème ainsi que les différentes populations d'individu.

**Constante** La mémoire constante stocke les arguments des *kernels* (appel de fonction sur le device) et les valeurs constantes définies avec le mot-clé spécial `__constant__`. Elle est particulièrement petite et nous n'en avons pas d'utilité. Elle est cependant particulièrement rapide.

**Texture** La mémoire des textures est un peu différente de par son accession en 2D. Elle serait donc particulièrement adaptée à notre cube.

**Partagée (shared)** Le mécanisme principal de communication entre threads est d'utiliser la mémoire partagée. Partagée dans le sens où tous les *threads* d'un *block* y ont accès. Elle est particulièrement rapide, quoique limitée en capacité (seulement *64k* pour la titan) et organisée sous forme de *bank* retournant des *words* de 32 *bit*. L'accès à un même *word* en simultané résulte en un *bank conflict*.

Les *patterns* d'accès suivant sont possibles :

- Accès simple chaque *thread* demande d'un mot d'une *bank* différentes
- Accès *broadcast*, tous les *threads* d'un même *warp* demandent un mot d'une même *bank*

Un *bank conflict* provoque la sérialisation des accès mémoires impactant les performances.

La technique de *tiling* couramment utilisé pour les programmes limités par l'utilisation mémoire plutôt que par les opérations arithmétiques est de découper les données à utiliser en *tile* de *64k*.

Dans notre cas cela n'est malheureusement pas possible, dû à l'empreinte mémoire des individus qui prendrait l'intégralité de la mémoire partagée de chaque bloc. Cela résulterait en une exécution en parallèle du nombre de *MP* disponible soit 16 pour la titan black.

**Registre** Chaque *stream multiprocessor* en plus de la mémoire partagée est aussi composé de 32 768 registres de 32 *bits*. Les registres ne sont pas partagés entre les *threads*. Les registres correspondent à la mémoire la plus rapide embarquée sur les cartes *GPGPU NVIDIA* et servent à stocker les variables locales de chaque *thread* et les résultats des opérations de base à la manière des registres *CPU*. Si la taille des variables locales excède le nombre de registres alloué à un *thread*, celles-ci sont automatiquement placées dans la mémoire locale impactant significativement les performances, dans un processus appelé "*spilling*[24]".

Ainsi, mettre trop de *threads* par *block* résulte en un nombre de registres limité pour chacun d'entre eux et limite possiblement les nombres de tâches exécutables simultanément, dépendamment des variables locales déclarées et du nombre d'opération arithmétique concurrente.

Un soin spécial a été apporté pour réduire le nombre et la taille des variables locales des

différents *kernels*. Le *flag* du compilateur *nvcc ptxas-verbose* indique les *spills* et tout comme les rapports du profileur *nvprof* fournit dans le *sdk CUDA*.

### 8.3.6 Optimisation et détails d'implémentation

**Appel coalescent** L'appel de mémoire coalescent est une technique pour augmenter l'utilisation de la bande passante de la mémoire globale en « *coalesçant* » (groupant) les transactions d'accès mémoire. Cela est possible quand les *threads* au sein d'un *demi-warps* accèdent en parallèle à des zones mémoire consécutives. Le *driver CUDA* va alors grouper les transactions pour récupérer des *words* d'une taille de 64 ou 128 *bits* réduisant considérablement la latence d'appels mémoires global, particulièrement lent (600-800 cycles). Il s'agit du gros point noir du projet, car les accessions mémoires sont par nature aléatoires vu le processus stochastique évolutionnaire. Les *patterns* d'accès à la mémoire globale sont donc particulièrement aléatoires, et résiste à tout type d'analyse statistique. Généralement des techniques de *tiling* sont utilisées pour réduire les latences mémoire en découpant les données globales en bloc de *64k* et en les plaçant dans la *shared memory*, qui n'a quasiment pas d'*overhead* (la mémoire partagée des blocks correspond au cache L1 directement placé sur les puces des *multiprocesseurs*).

Malheureusement, les volumes de données utilisés nous empêchent là encore d'utiliser ce type de mémoire. Une technique envisagée est le prétraitement des données globales avec chaque appel de *kernel*. Cela consiste à regrouper des individus référençant des données similaires et en créant des *subsets* des données globales correspondant à ces groupes d'individu.

Mais là encore, le nombre de données à utiliser et la distribution quasi uniforme (du moins dans les premières générations) des références des individus rendent ce type d'optimisation

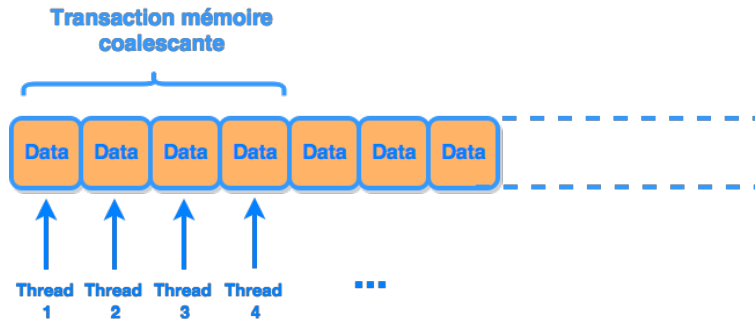


FIGURE 17: *Transaction mémoire coalescentes.*

- 1) particulièrement ardu à implémenter efficacement
- 2) fort probablement une anti-optimisation si les préconditions ne peuvent être remplis, *i.e* aucun *subset* possible inférieur à la limite de *64k* de la mémoire partagé ce qui entraînerait l'utilisation de la mémoire globale comme *fallback*.



**Divergence** L'architecture matérielle des cartes *GPGPU CUDA* requiert que les *warps* (ou les *half-wrap* pour l'architecture Fermi) suivent la même trajectoire, *i.e* exécutent exactement les mêmes instructions donc les mêmes branchements. Pour le modèle *SIMD*, les *threads* ne peuvent théoriquement pas diverger. *NVIDIA* propose ici une solution pour les branchements conditionnels types **if-then-else** et autres boucles au nombre d'itérations variable. Les threads évaluant la partie **then** se retrouvent à exécuter des instructions différentes des threads évaluant la partie **else**.

La plateforme *CUDA* propose un contournement du problème, qui impacte néanmoins les performances. Dans le cas de l'**if-then-else**, pendant qu'une partie des *threads* évalue la partie **then**, ceux devant évaluer le **else** sont désactivés et vice-versa, sérialisant de facto une partie des traitements parallèles. Le traitement des nombreuses contraintes dans la fonction d'évaluation de pair avec les différences au niveau des données des individus résulte dans une grande quantité de divergences, visualisable grâce à l'outil de profiling *nvvp* et *nvprof*. *Nvvp* donne une analyse point par point des problèmes et *hotspot* de chaque *kernel*.

Plusieurs mécanismes ont été utilisés pour réduire le nombre de divergences sans trop changer la logique :

- Arithmétisation de conditionnel
- Découpage en *sous-kernel*

L'arithmétisation de conditionnelle consiste à transformer un branchement conditionnel en opération arithmétique. Ici un simple exemple fera foi :

```
int val = 0;
```

```
if(foo)
```

```
    val += 500;
```

```
else
```

```
    val += 250;
```

```
int val = 0;
```

```
val += 250 + (foo * 250);
```

FIGURE 18: Extrait de code divergent

FIGURE 19: Version "arithmétisé"

Le découpage en sous-kernel reste la technique la plus simple à mettre en place. Les gros *kernels* très divergents sont découpés fonctionnellement en plus petit sous-kernel. Comme toute optimisation et à cause de la complexité des mécanismes et procédures en jeux, les *hotspots* se détectent uniquement par l'utilisation de *profiler*. Sacrifier de la lisibilité pour des gains de performance nuls ou négligeables n'a pas de sens.

### 8.3.7 Futurs développement et interaction utilisateur

Nous allons donc procéder en trois temps :

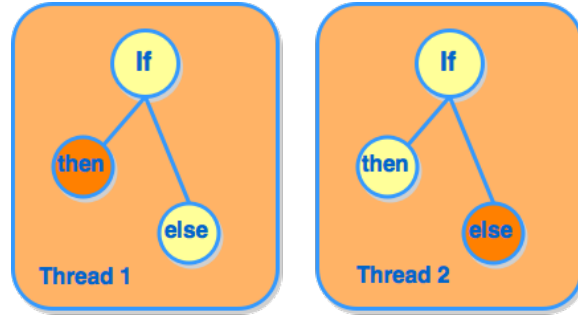


FIGURE 20: Divergence : Deux threads executant un branchement différent.

- Intégration et test de l’optimisation pour le lendemain, statique
- Optimisation statique et gestion des ajout et délétion de mission par un algorithme annexe de recherche locale
- Optimisation entièrement dynamique anytime par l’algorithme génétique lui-même

Nous allons ajouter la visualisation des équipages et leurs assignations sur Saphir, pour pouvoir monter des plannings à des planificateur et régulateur le plus tôt possible. Cela nous permettra de corriger les gros problèmes, dont les éléments et contraintes manquants.

J’ai proposer de mettre en place une méthodologie de test en aveugle (et si possible en double aveugle) pour voir si les régulateurs sont satisfaits des plannings proposés et s’il les différencie d’un planning fait par un humain compétent.

Au niveau de l’interaction avec le décideur, il devra choisir un planning parmi un front de Pareto, sur le front lui-même ou à travers de slider pour sélectionner des plannings optimisant plutôt les coûts ou la qualité de service. On y affichera aussi des statistiques simples pour chaque planning : coût, retard cumulé, nombre de véhicules utilisé, nombre d’employées utilisé, ect ...

J’ai aussi proposé un côté interactif, en permettant aux régulateurs de “bloqué” des parties qui leur semblent intéressantes. Nous pouvons gérer de cela manière génétique, en assignant un bonus à l’évaluation aux individus incluant ces blocques de mission figée ou de manière plus déterministe, plus agréable et facile à suivre pour l’utilisateur, mais offrant potentiellement de moins bonnes optimisations futures dues à l’ajout de contraintes. Des études futures sur la fatigue utilisateur, courante dans le domaine des optimisations interactives[3] par algorithme génétique doivent encore être conduites.

Pour toute la partie dynamique, les véhicules en cours de mission doivent être considérés comme utilisés jusqu’à leurs prochaines missions planifiées, le reste de l’optimisation devant continuer avec ces nouvelles contraintes. Ce fonctionnement demande une observation sur le terrain de la réaction des régulateurs, car ils perdent une partie de leurs contrôles sur la planification au profit de l’algorithme.

### 8.3.8 Résultats expérimentaux

Nous avons obtenu de bons résultats concernant le nombre de véhicules utilisés par rapport au nombre de missions, en des temps plus que corrects. Nous utilisons uniquement des données réelles de journée déjà passée, fournies par les bases de données de Saphir.

Ces résultats ont été validés par des professionnelles de la régulation de transport sanitaires et sont corrects dans le sens où ils respectent les contraintes légales et logistiques fortes (pas de simultanéité pour les ambulances, présence de pause d'au moins 20 minutes toutes les 6 heures, ect .. ).

Ici nous pouvons voir représentation graphique sous forme de Timeline des missions à effectuer pour chaque véhicule.

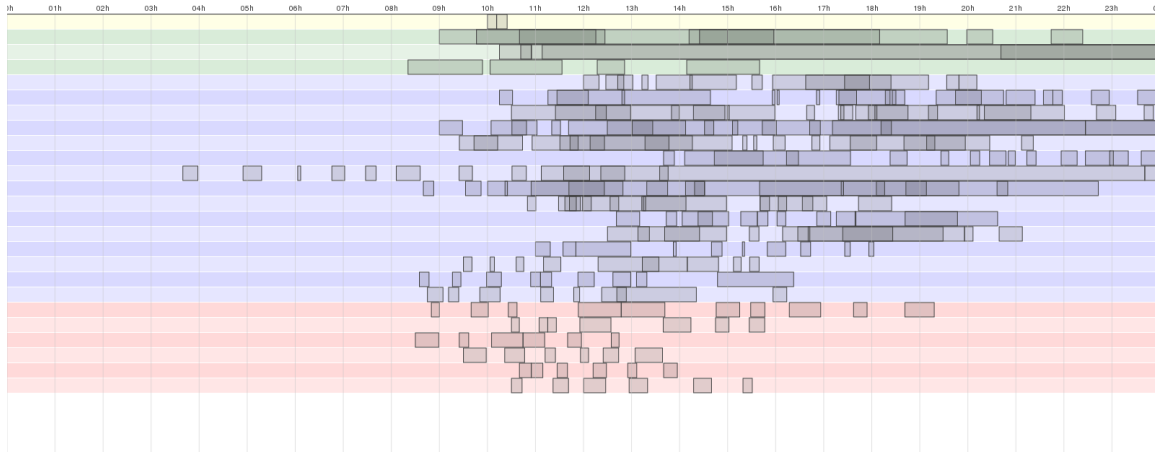


FIGURE 21: *Planning : Chaque ligne correspond au mission d'un véhicule sur une journée. En rouge les ambulances, en bleu les taxis, en vert les VSL et en jaune les TPMR.*

D'un point de vue des temps de calcul, nous sommes satisfaits des valeurs obtenues. J'ai répertorié ici les différentes accélérations observées entre la version CPU séquentielle et la version GPGPU massivement parallélisée de notre implémentation :

Implémentation	Milliseconde par génération	Accélération sur CPU
CPU single threaded	1566	1x
GPU Debug	534	2,8x
GPU Release	44	34,8x

TABLE 3: *Pour une population de 16 384, moyennes sur 40 générations.*

Il est cependant important d'admettre que les accélérations sur GPU pourraient être un ordre de magnitude supérieur[23], notre implémentation étant exécutée dans son intégralité sur GPU. La loi d'Amhdal[11] définit que l'accélération théorique maximale

dépend du temps passé sur les parties séquentielles du programme, quasi nulle dans notre cas :

**Soit**

- $n \in \mathbb{R}$ , le nombre de thread disponible,
- $B \in [0, 1]$ , La fraction du programme strictement séquentielle

Le temps  $T(n)$  pour que le programme finisse son exécution avec  $n$  threads :

$$T(n) = T(1) \left( B + \frac{1}{n} (1 - B) \right)$$

L'accélération théorique maximale  $S(n)$  dépend donc de

$$S(n) = \frac{T(1)}{T(n)} = \frac{T(1)}{T(1) \left( B + \frac{1}{n} (1 - B) \right)} = \frac{1}{B + \frac{1}{n} (1 - B)}$$

Au niveau de la gestion des employés, nos résultats sont en deçà des fourchettes fournies par les régulateurs ambulanciers. Notre optimisation nous donne ~60 employées pour 250 missions alors qu'on devrait obtenir entre 40 et 45. De grandes améliorations de cette partie de l'algorithme sont en cours de développement.

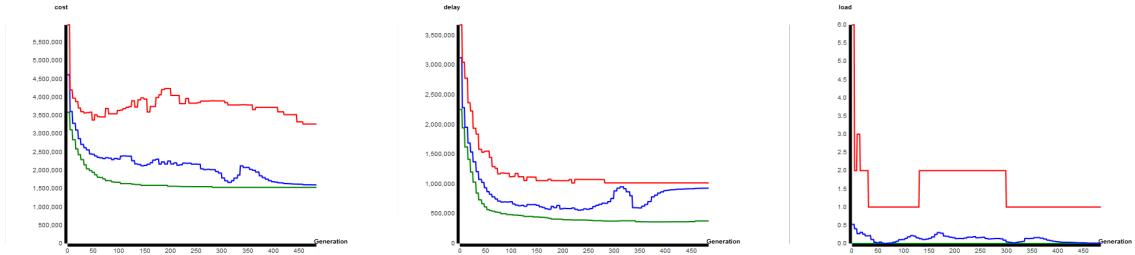


FIGURE 22: L'évolution des différentes fitness sur 1000 générations. De gauche à droite, la fitness de coût, de retard cumulé et de capacité. Pour chaque objectif, en rouge la pire valeurs de fitness de la population, en bleu la fitness moyenne et en vert la meilleurs. Machine : NVIDIA Titan, core i5 2500K, 12GB DDR3 avec une taille de population de 1024 individus.

## 8.4 Gestion de projet et capacité d'adaptation

De mon poste au *CNRS* à ma position actuelle d'assistant-chercheur à *Synovo*, j'ai joui d'une certaine indépendance et liberté dans la manière dont les projets étaient pilotés. Les finalités des différents projets auquel j'ai participé n'étant pas les mêmes, les prises de décisions sur des questions techniques et conceptuelles ainsi que les modalités de rendu différaient grandement. J'ai travaillé dans divers environnements : seul, en collaboration ponctuelle et en équipe. Je gère à présent une équipe de deux personnes au bout de quelques mois chez *Synovo*, ce qui m'a beaucoup apporté sur le plan

professionnel et personnel, sur des questions auxquelles je ne me suis jamais retrouvé confronté auparavant.

Nous passerons en revue dans les prochaines sections tour à tour ces expériences, et l'apprentissage qui ont été tirés de chacune d'elle et de leurs influences. Nous tâcherons aussi de mettre en lumière les différences de fonctionnement et d'attente entre la recherche dans le monde universitaire et le secteur privé.

#### 8.4.1 Autonomie et capacité d'adaptation

Dans les projets énoncés, la plus grande part de responsabilité vient du fait d'être capable de s'adapter rapidement aux demandes et de pouvoir proposer des solutions viables peu couteuses en temps-homme. Cette responsabilité s'accompagne de la capacité à faire de la veille technologique et à comprendre rapidement le fonctionnement de nouvelles *bibliothèques*, *frameworks*, *langages* et *algorithme*.

De la mise en place d'un système de déploiement à la collecte de données et traitement statistique en passant par de la visualisation, j'ai été amené à découvrir beaucoup de domaines de l'informatique qui m'étaient jusqu'alors mal connus et flous. Cela m'a permis d'acquérir rapidement une culture générale qui me permet de réagir plus précisément aux nouveaux problèmes rencontrés.

Comprendre et exploiter efficacement une nouvelle technologie requiert de la discipline et de la concentration : lire de la documentation, analyser la philosophie sous-jacente et faire une expertise des limitations du système. Intégrer une solution à un projet déjà existant reste une problématique à part entière : il faut modifier l'architecture du projet en conséquence. L'intégration de la partie CUDA sur le projet *HIRONDELLE* en est un excellent exemple. Le système de build a dû être grandement remanié, pour bien séparer les parties de code destinées à l'exécution sur *GPU*. Une nomenclature spécifique de la hiérarchie de fichier et des directives de compilation (*preprocessing*) se sont révélées être indispensables. Toutes ces considérations, que l'on a parfois tendance à mettre de côté, demandent un véritable travail d'assimilation.

Une bonne connaissance des technologies du Web et les diverses techniques et bonnes pratiques acquises au travers de projet personnel m'ont obligé à m'interroger sur le fonctionnement du modèle *MVC* de *Django* et de manière plus large aux interactions client-serveur basées sur *API RESTful* et *Ajax*.

Tout en approfondissant ma compréhension du langage *Python*, je me suis aussi familiarisé avec des concepts plus généraux des langages dynamiques et faiblement typés. Ce n'est qu'au bout d'un mois que j'étais capable de produire avec aisance du code Python propre et standard. Une fois la philosophie Python assimilée, l'utilisation et la découverte de bibliothèques tierces se sont révélées bien plus faciles.

#### 8.4.2 Chef d'équipe

Au cours du mois de juin, deux nouveaux développeurs m'ont rejoint sur le projet *HIRONDELLE*, Benjamin Chetieu, qui rentre au master ILC en septembre et Ivan Aksamentov, étudiant au cursus master ingénierie en informatique de l'université de

Strasbourg.

Je me suis chargé de leur faire découvrir le projet et ses enjeux, notamment sur la partie scientifique et sur les techniques évolutionnaires. Savoir transférer efficacement ses compétences et connaissances reste pour moi un point primordial d'une collaboration efficace. Il n'y a pas eu besoin de formation particulière sur la partie technique de par leurs connaissances préalables en C/C++, JavaScript et Python.

Dans le travail en équipe, il ne faut surtout pas perdre de vue la dimension humaine. En tant que chef d'équipe c'est de mon ressort de bien comprendre les compétences techniques et de relation humaine de chacun pour offrir une ambiance de travail agréable, épanouissante et productive pour tous. Une petite présentation de l'équipe et de leurs travaux s'impose. M. Ivan Aksamentov possède une excellente maîtrise du C++ et de ses spécifications récentes ( C++11 et C++14).

J'ai beaucoup appris de lui sur les idiomes de programmation du langage C++ comme RAII, pImpl, des concepts de software design orienté objet diamond problem et des méthodologies de développement comme YAGNI<sup>37</sup> ainsi que sur certains outils et méthode de développement C++ : sanitizer, mode debug pour la STL<sup>38</sup> et test unitaire.

Mon autre collègue est M. Benjamin Chetieu. Il a par plusieurs occasions fait preuve d'une grande capacité de compréhension et de résolution de problème. Il s'occupe de l'intégration de l'algorithme à *Saphir* et du protocole d'échange de donnée entre eux. Il s'occupera avec moi de la gestion de la dynamique de l'optimisation, requérant des interactions de type *CRUD*<sup>39</sup> entre le serveur et l'algorithme et la gestion des équipages.

### 8.4.3 Premier pas

Une fois endossé ce rôle de chef d'équipe, le premier obstacle que j'ai rencontré est le découpage et la répartition des tâches selon les compétences et aptitudes de chacun. Le fait d'avoir travaillé seul sur le projet m'a permis d'avoir une vision d'ensemble sur le futur des développements. S'agissant d'une nouvelle expérience de gestion de projet dans le cadre professionnelle, je n'avais pas prévu de tâches assez importantes et je me suis retrouvé au bout d'une semaine sans tâches précises à distribuer. Je me suis mis à chercher des conseils auprès de mon supérieur hiérarchique directe, M Guillaume Philips et de connaissances qui ont été dans la même situation, qui sont elle aussi passé de développeur à chef de projet. Je me suis permis de tester différentes approches dans le management au cours des quelques semaines qui ont suivi, en essayant de mettre en place des méthodologies de gestion de projet comme *pomodoro*<sup>40</sup> ou *kanban*<sup>41</sup>.

Cette première phase s'est révélée un peu tâtonnante, mais extrêmement enrichissante. Cela est encore plus vrai dans le cadre de la R&D, où l'on rencontre parfois des phases de doute et de stagnation. Il s'agit aussi de faire preuve d'optimisme tout en restant

---

37. "You aren't gonna need it"

38. C++ Standard Template Library

39. Create, Read, Update and Delete

40. [https://fr.wikipedia.org/wiki/Technique\\_Pomodoro](https://fr.wikipedia.org/wiki/Technique_Pomodoro)

41. <https://fr.wikipedia.org/wiki/Kanban>

réaliste, ce qui est malheureusement de mes faiblesses, *i.e* annoncer des délais de mise en production beaucoup trop courts.

#### 8.4.4 Difficultés

Au début, j'avais du mal à jongler entre mes propres tâches et la gestion de projet, écart qui s'est peu à peu réduit avec l'expérience et l'habitude. Avant de trouver cet équilibre, la responsabilité et la charge de travail supplémentaire se sont traduites par un certain stress. Les nombreux interblocages dans les tâches assignées n'aidaient pas à cela.

Je cherche toujours à avoir le feedback des personnes travaillant avec moi dans le but d'avoir des relations de travail les plus saines possible. Une bonne ambiance entraîne de nombreux avantages dont la prise d'initiative et les échanges de points de vue sur les choix et positionnement architecturaux, conceptuels et techniques. Ainsi dès qu'une difficulté survient, un processus ouvert de résolution est enclenché, où chacun confronte ses idées et solutions.

## 9 Conclusion

Cette première année d’alternance fut riche et dense en expériences. D’un point de vue personnel, j’ai pu fréquenter deux milieux aux buts et objectifs différents. Par le contact et la présence de nombreux collaborateurs sur des projets éloignés, j’ai pu me forger une éthique et des méthodologies de travail flexible et efficace. J’ai dû faire face à des obstacles importants, sur les plans théorique et technique tout autant que personnel et moral, ce qui m’a permis d’apprendre à mieux gérer mon stress et de mieux m’en prévenir. J’ai acquis des démarches et méthodes de résolution de problème plus rationnelles et professionnelles. L’apprentissage “*sur le tas*” de la gestion de projet et d’équipe enrichie aussi grandement mon bagage en tant que personne et travailleur. Devenir un bon chef de projet est difficile et faire ses premiers pas et balbutiements en tant qu’étudiant en alternance permet d’expérimenter dans un environnement plus facile. Même si déjà exposé superficiellement dans le passé à la programmation Web et au développement sur *GPGPU*, c’est grâce aux projets auxquels j’ai eu le plaisir de participer que je suis maintenant pleinement capable de les maîtriser. J’ai techniquement bien évolué : clarté du code, rapidité, mise en place de méthodologie de test. L’exposé du travail effectué tout au long de l’année peut sembler hétéroclite et même parfois confus, car de nombreuses et diverses tâches m’ont été confiées.

J’ai particulièrement aimé mon travail sur *EASEA-CLOUD* et *HIRONDELLE*, tous deux en relation avec les algorithmes génétiques, qui se trouve être un de mes centres d’intérêt en informatique. De plus, j’ai toujours fait attention aux questions de performance, soit le cœur de ces deux projets.

Les nouvelles possibilités qu’offrent les solutions de calcul massivement parallèle *low-cost* dont font partie les cartes *GPGPU* sont très intéressantes à explorer.

Avec la plateforme *EASEA* et sur le projet *HIRONDELLE*, il a été possible d’utiliser à leurs pleines mesures la puissance de calcul de cartes *GPGPU NVIDIA* musclées, résultant en des accélérations convenables (x30 dans le cas d’*HIRONDELLE*) voire impressionnantes (x400 sur benchmarks avec *EASEA*[19]).

Cela a été rendu possiblement par le parallélisme massif inhérent des techniques évolutionnaires. Ces accélérations nécessitent d’utiliser des tailles de population massive, plus de 30000 individus alors que la plupart des optimisations par algorithme génétique classique requièrent des populations de 100 à 1000 individus.

Cela est dû au fonctionnement de carte *GPGPU*, qui du fait de leurs architectures physiques simples et du modèle *SIMD* qu’elles implémentent, demande de “charger” les exécutions avec de très nombreuses tâches pour simuler un système de pipelining, ces cartes n’ayant pas de scheduler matériel[24].

Il a été très intéressant de mettre en perspective mon travail sur *EASEA-CLOUD*, un framework évolutionnaire et *HIRONDELLE*, une implémentation très spécifique d’un problème précis. L’utilisation d’*EASEA-CLOUD* a considérablement réduit le temps de développement pour avoir un premier prototype au détriment des performances, ce qui est tout le contraire du développement d’*HIRONDELLE*.



Avoir abordé les deux angles m'a grandement aidé à acquérir une vision plus complète du domaine de l'optimisation par algorithmes génétiques autant sur la théorie que sur les détails d'implémentation.



# Bibliographie

- [1] Jürgen Branke. *Evolutionary algorithms for dynamic optimization problems : A survey*. AIFB, 1999.
- [2] Jürgen Branke, Thomas Kaußler, Christian Smidt, and Hartmut Schneck. A multi-population approach to dynamic optimization problems. In *Evolutionary Design and Manufacture*, pages 299–307. Springer, 2000.
- [3] Sung-Bae Cho. Towards creative evolutionary systems with interactive genetic algorithm. *Applied Intelligence*, 16(2) :129–138, 2002.
- [4] Pierre Collet, Evelyne Lutton, Marc Schoenauer, and Jean Louchet. Take it easea. In *Parallel Problem Solving from Nature PPSN VI*, pages 891–901. Springer, 2000.
- [5] Jeffrey Dean and Sanjay Ghemawat. Mapreduce : simplified data processing on large clusters. *Communications of the ACM*, 51(1) :107–113, 2008.
- [6] Kalyanmoy Deb, Amrit Pratap, Sameer Agarwal, and TAMT Meyarivan. A fast and elitist multiobjective genetic algorithm : Nsga-ii. *Evolutionary Computation, IEEE Transactions on*, 6(2) :182–197, 2002.
- [7] Michel Gendreau, Jean-Yves Potvin, Olli Bräumlaysy, Geir Hasle, and Arne Løketangen. *Metaheuristics for the vehicle routing problem and its extensions : A categorized bibliography*. Springer, 2008.
- [8] Parke Godfrey, Ryan Shipley, and Jarek Gryz. Algorithms and analyses for maximal vector computation. *The VLDB Journal—The International Journal on Very Large Data Bases*, 16(1) :5–28, 2007.
- [9] Bruce L Golden, Subramanian Raghavan, and Edward A Wasil. *The Vehicle Routing Problem : Latest Advances and New Challenges : latest advances and new challenges*, volume 43. Springer Science & Business Media, 2008.
- [10] Franklin T Hanshar and Beatrice M Ombuki-Berman. Dynamic vehicle routing using genetic algorithms. *Applied Intelligence*, 27(1) :89–99, 2007.
- [11] Mark D Hill and Michael R Marty. Amdahl’s law in the multicore era. *Computer*, (7) :33–38, 2008.
- [12] John Henry Holland. *Adaptation in natural and artificial systems : an introductory analysis with applications to biology, control, and artificial intelligence*. MIT press, 1992.

- [13] Danny Holten. Hierarchical edge bundles : Visualization of adjacency relations in hierarchical data. *Visualization and Computer Graphics, IEEE Transactions on*, 12(5) :741–748, 2006.
- [14] Jiuxing Jiang, Jose L Jorda, Jihong Yu, Laurent A Baumes, Enrico Mugnaioli, Maria J Diaz-Cabanas, Ute Kolb, and Avelino Corma. Synthesis and structure determination of the hierarchical meso-microporous zeolite itq-43. *Science*, 333(6046) :1131–1134, 2011.
- [15] Brian Kallehauge, Jesper Larsen, Oli BG Madsen, and Marius M Solomon. *Vehicle routing problem with time windows*. Springer, 2005.
- [16] Fernando G Lobo, Cláudio F Lima, and Zbigniew Michalewicz. *Parameter setting in evolutionary algorithms*, volume 54. Springer Science & Business Media, 2007.
- [17] Evelyne Lutton, Hugo Gilbert, Waldo Cancino, Benjamin Bach, Joseph Pallamidesi, Pierre Parrend, and Pierre Collet. Visual and audio monitoring of island based parallel evolutionary algorithms. *Journal of Grid Computing*, pages 1–19, 2014.
- [18] Evelyne Lutton, Hugo Gilbert, Waldo Cancino, Benjamin Bach, Pierre Parrend, and Pierre Collet. Gridvis : Visualisation of island-based parallel genetic algorithms. In *Applications of Evolutionary Computation*, pages 702–713. Springer, 2014.
- [19] Ogier Maitre, Frédéric Krüger, Stéphane Query, Nicolas Lachiche, and Pierre Collet. Eassea : specification and execution of evolutionary algorithms on gpgpu. *Soft Computing*, 16(2) :261–279, 2012.
- [20] George Marsaglia et al. Xorshift rngs. *Journal of Statistical Software*, 8(14) :1–6, 2003.
- [21] Yuichi Nagata. New eax crossover for large tsp instances. In *Parallel Problem Solving from Nature-PPSN IX*, pages 372–381. Springer, 2006.
- [22] Beatrice Ombuki, Brian J Ross, and Franklin Hanshar. Multi-objective genetic algorithms for vehicle routing problem with time windows. *Applied Intelligence*, 24(1) :17–30, 2006.
- [23] Petr Pospichal, Jiri Jaros, and Josef Schwarz. Parallel genetic algorithm on the cuda architecture. In *Applications of Evolutionary Computation*, pages 442–451. Springer, 2010.
- [24] Jason Sanders and Edward Kandrot. *CUDA by example : an introduction to general-purpose GPU programming*. Addison-Wesley Professional, 2010.
- [25] Deepak Sharma and Pierre Collet. An archived-based stochastic ranking evolutionary algorithm (asrea) for multi-objective optimization. In *Proceedings of the 12th annual conference on Genetic and evolutionary computation*, pages 479–486. ACM, 2010.

- [26] Deepak Sharma and Pierre Collet. Gpgpu-compatible archive based stochastic ranking evolutionary algorithm (g-asrea) for multi-objective optimization. In *Parallel Problem Solving from Nature, PPSN XI*, pages 111–120. Springer, 2010.
- [27] Marius M Solomon. Algorithms for the vehicle routing and scheduling problems with time window constraints. *Operations research*, 35(2) :254–265, 1987.
- [28] Paolo Toth and Daniele Vigo. *The vehicle routing problem*. Society for Industrial and Applied Mathematics, 2001.
- [29] Shigeyoshi Tsutsui and Pierre Collet. *Massively parallel evolutionary computation on GPGPUs*. Springer, 2013.
- [30] Mark Voorneveld. Characterization of pareto dominance. *Operations Research Letters*, 31(1) :7–11, 2003.
- [31] Darrell Whitley, Soraya Rana, and Robert B Heckendorn. The island model genetic algorithm : On separability, population size and convergence. *Journal of Computing and Information Technology*, 7 :33–48, 1999.
- [32] Eckart Zitzler, Kalyanmoy Deb, and Lothar Thiele. Comparison of multiobjective evolutionary algorithms : Empirical results. *Evolutionary computation*, 8(2) :173–195, 2000.